

スピンエレクトロニクスとは? Charge **Spin Electron Electronics Magnetics** diode recording transistor magnets laser transformer **Spintronics** LSI **HDD** New field in electronics to utilize Charge & Spin 2

High speed, High density, Low power consumption, etc.

スピンエレクトロニクスの展開

スピン依存伝導

磁気構造 → 電気伝導

- •巨大磁気抵抗効果
- •トンネル磁気抵抗効果

スピントランスファー

スピン電流 →磁気構造

- •スピン注入磁化反転
 - •磁壁電流駆動
 - •マイクロ波発振
- •スピントルクダイオード

スピンホール効果

HDD

MRAM

高周波デバイス スピントランジスタ ポストHDD ??? ロニクス

???

スピンエレクトロニクス研究のマイルストーン的実験

年	事項	文献
1975年	トンネル磁気抵抗効果(TMR)の発見	[1]
1985年	非磁性金属へのスピン注入	[2]
1988年	巨大磁気抵抗効果(GMR)の発見	[3]
1991年	強磁性半導体(InMnAs)の合成 (日本)	[4]
1995年	室温TMR効果 (日本)	[5]
1998年	スピン注入磁化反転の実証(理論提案[17])	[6]
1999年	非磁性半導体へのスピン注入(日本)	[7]
2000年	電界による強磁性半導体転移温度制御(日本)	[8]
2001年	非局所GMR効果	[9]
2003年	スピン注入磁化反転素子のマイクロ波発振	[10]
2004年	電流駆動磁壁移動の実証(理論提案[18]) (日本)	[11]
2004年	Mg0バリア巨大TMR効果実証(理論提案[19]) (日本)	[12]
2004年	スピンホール効果実証(理論提案[20]) (日本)	[13]
2005年	スピントルクダイオード効果 (日本)	[14]
2007年	スピンホール絶縁体の実証(理論提案[21])	[15]
2008年	スピンゼーベック効果の発見 (日本)	[16] 4

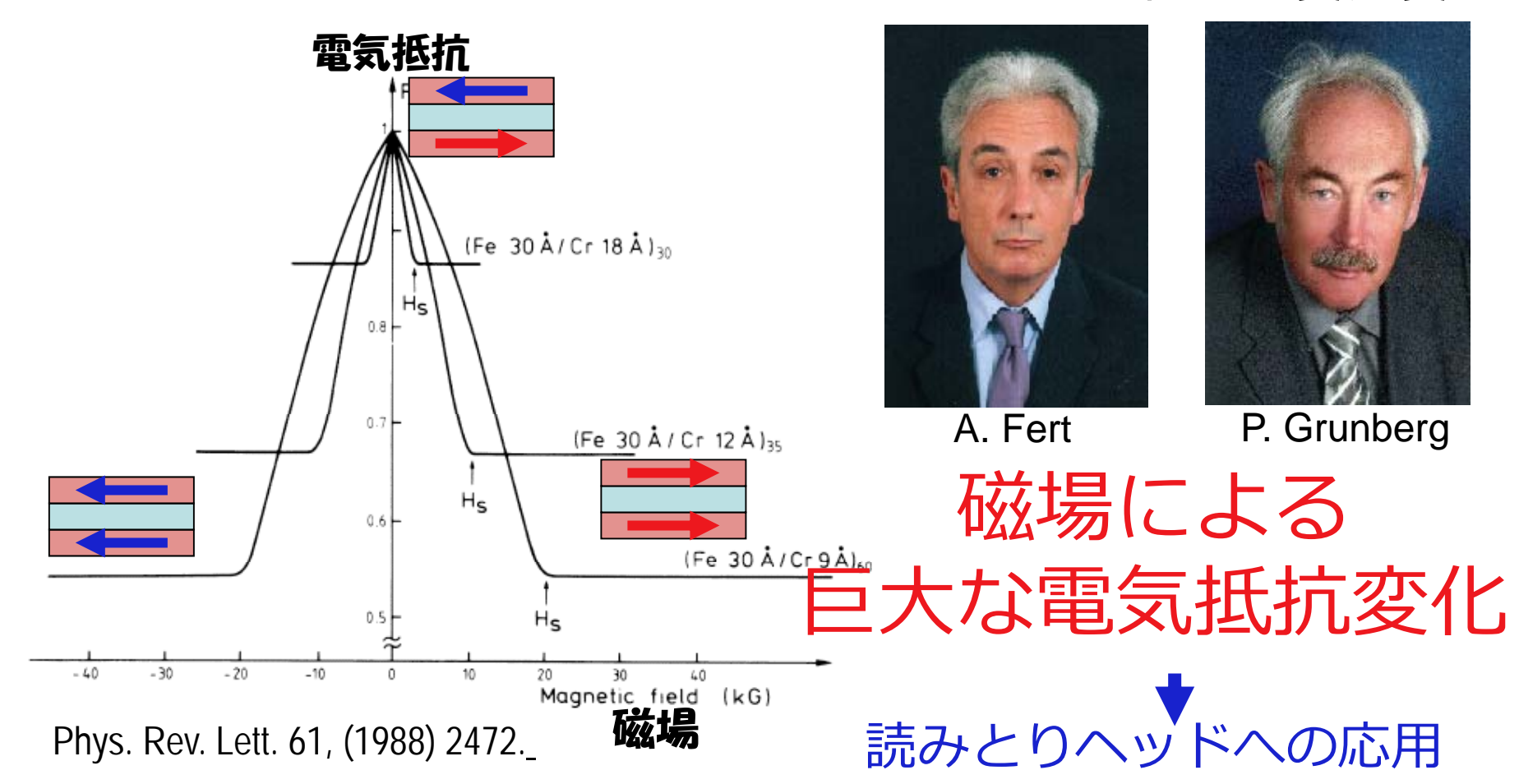
スピン依存伝導

- 巨大磁気抵抗効果
- ・トンネル磁気抵抗効果

巨大磁気抵抗効果 (Giant Magnetoresistance) とハードディスクドライブ

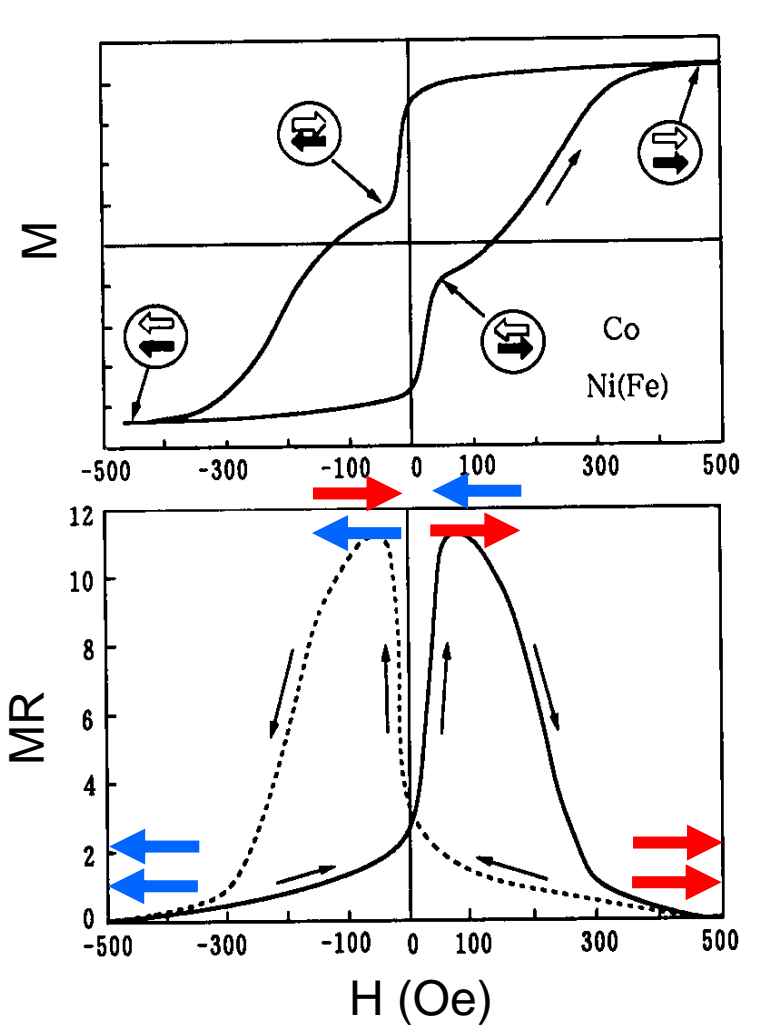
巨大磁気抵抗効果とは

2007年ノーベル物理学賞受賞者



読み取りヘッドにするには磁場が大きすぎる!

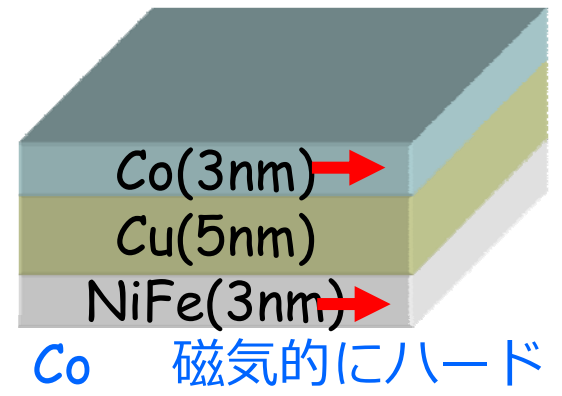
応用への大きなステップ



T. Shinjo & H. Yamamoto, JPSJ 59 (90) 3061

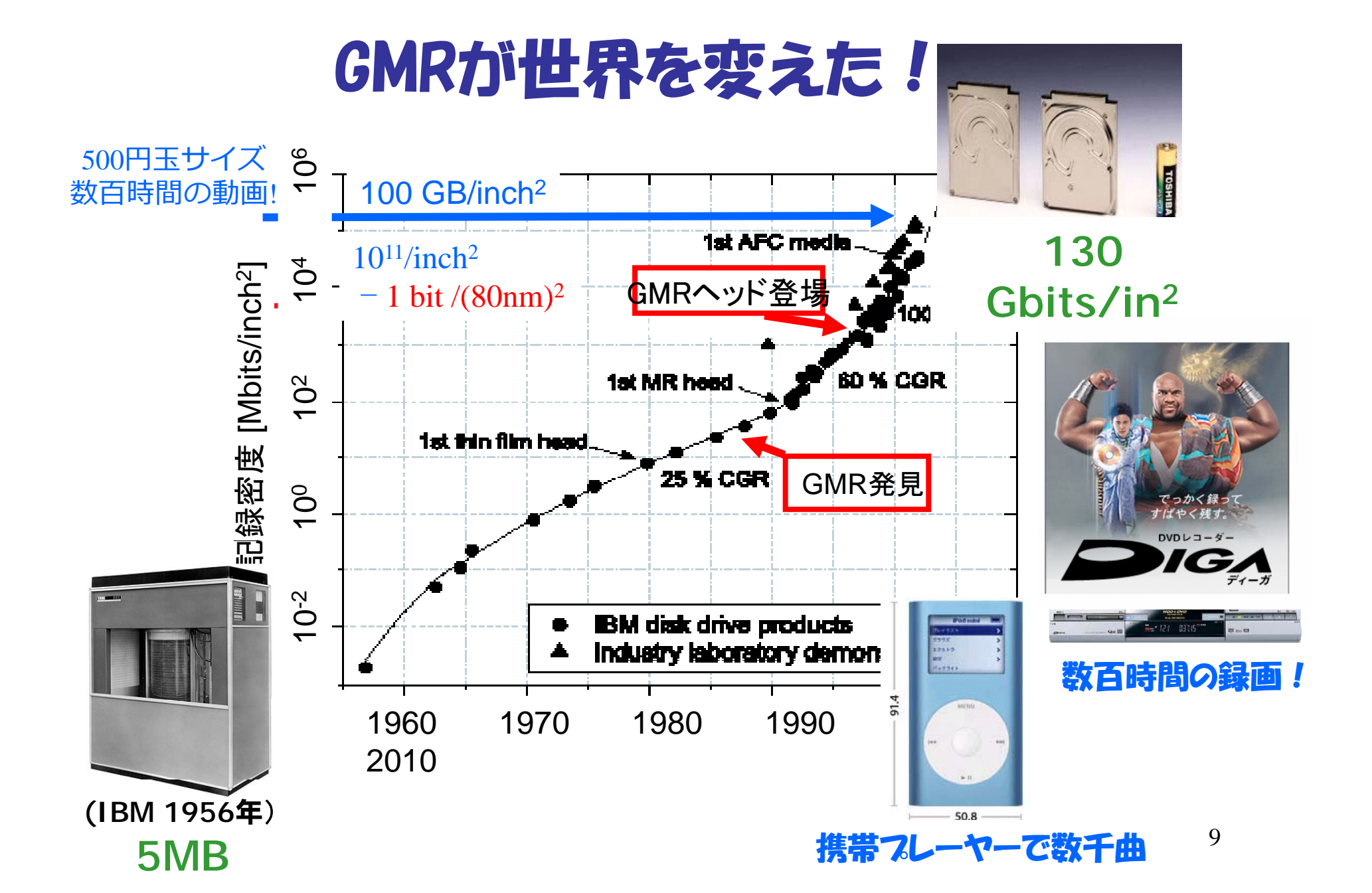


新庄輝也 京大名誉教授

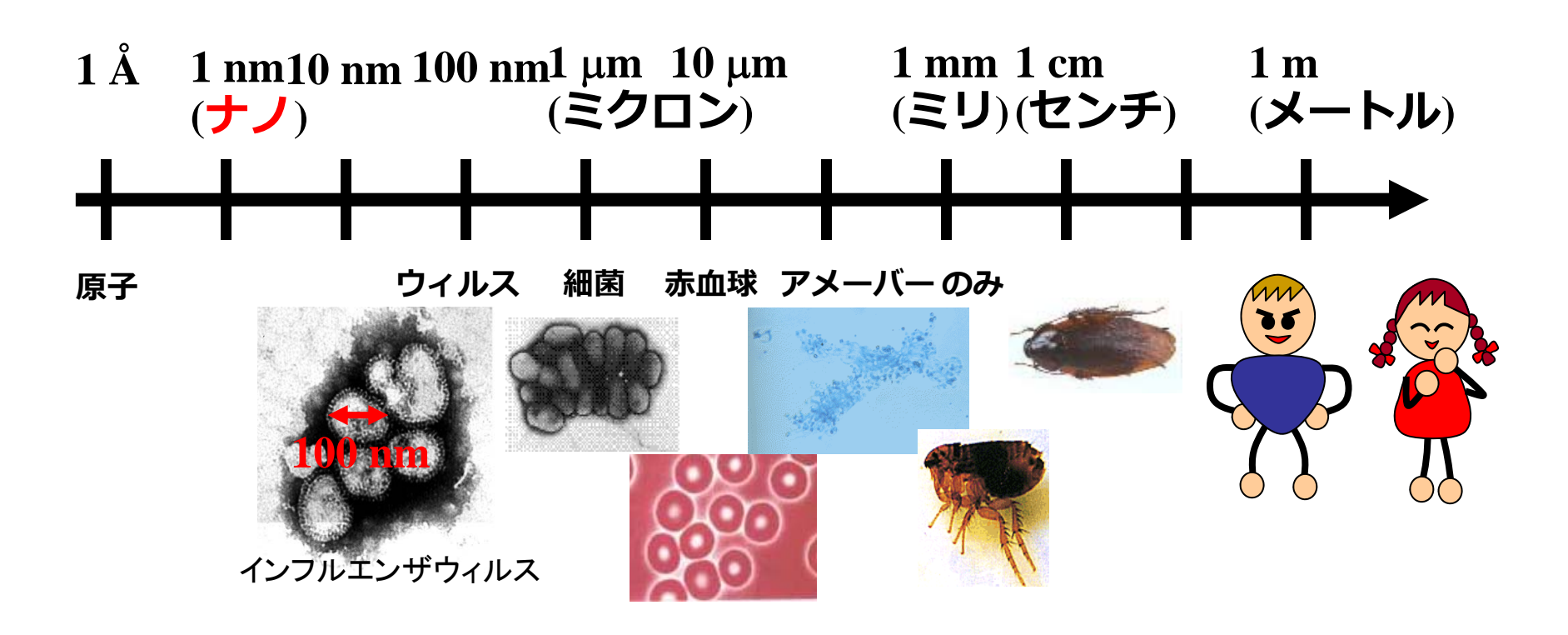


Co 磁気的にハート NiFe 磁気的にソフト

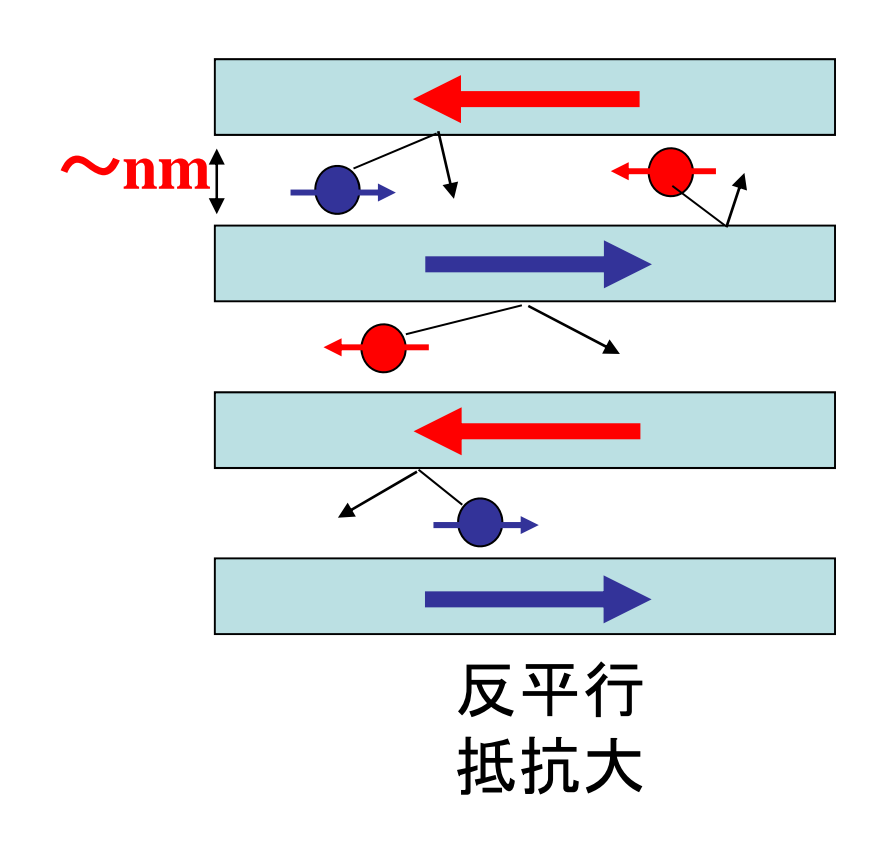
小さな磁場で抵抗変化が起こることを実証8!

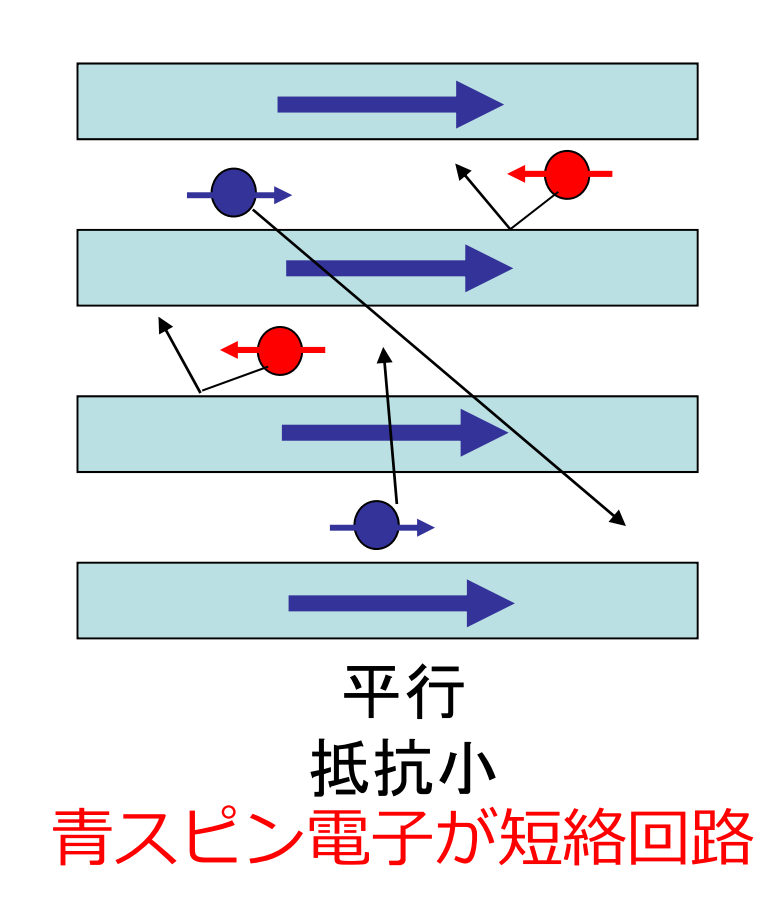


ナノメートルの世界



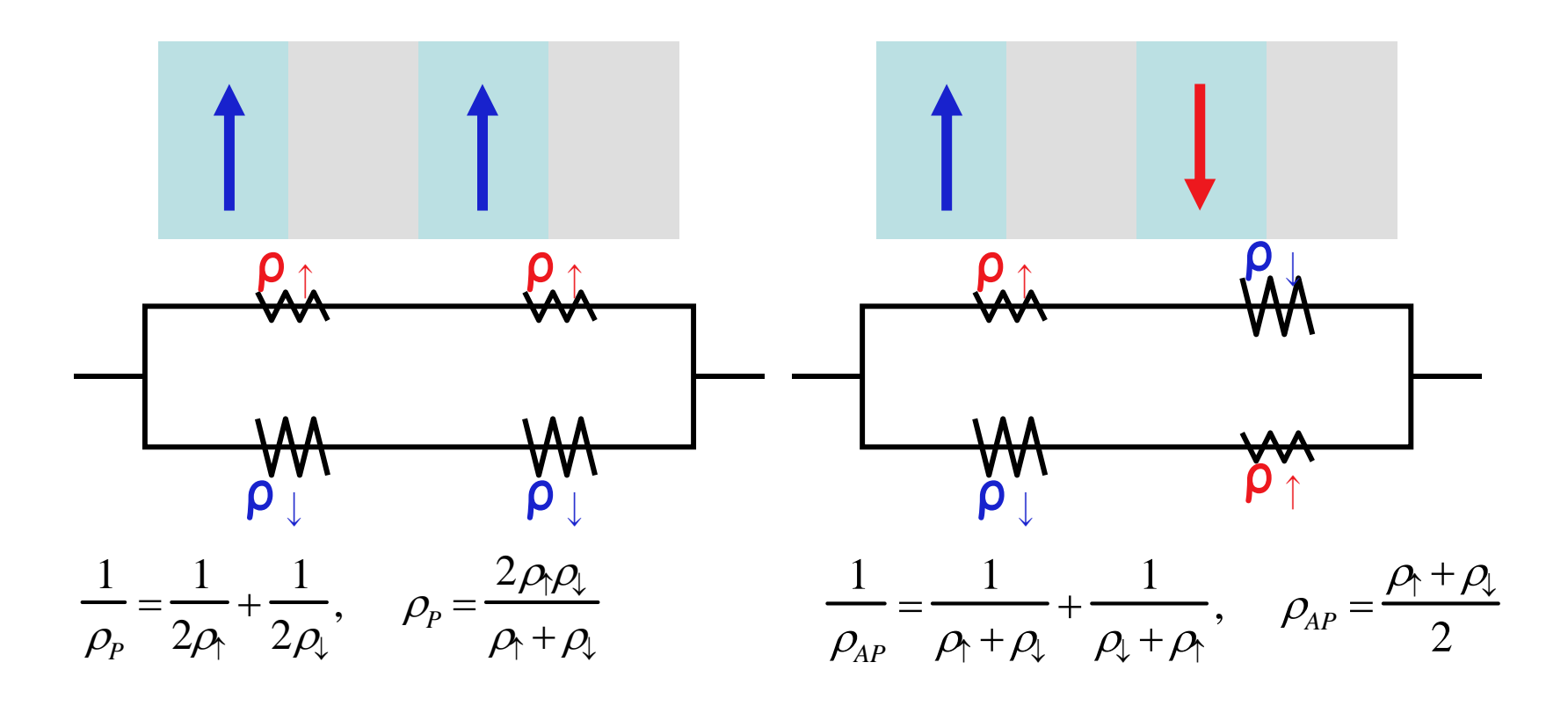
巨大磁気抵抗効果の原理





GMRが教えてくれたこと 伝導電子のスピン自由度の重要性 スピンを利用したエレクトロニクスへ!!

Two-current model



$$\rho_{AP} - \rho_{P} = \frac{(\rho_{\uparrow} - \rho_{\downarrow})^{2}}{2(\rho_{\uparrow} + \rho_{\downarrow})} \ge 0$$

スピンエレクトロニクスの展開

スピン依存伝導

磁気構造 → 電気伝導

- •巨大磁気抵抗効果
- •トンネル磁気抵抗効果

スピントランスファー

スピン電流 →磁気構造

- •スピン注入磁化反転
 - •磁壁電流駆動
 - •マイクロ波発振
- •スピントルクダイオード

スピンホール効果

HDD

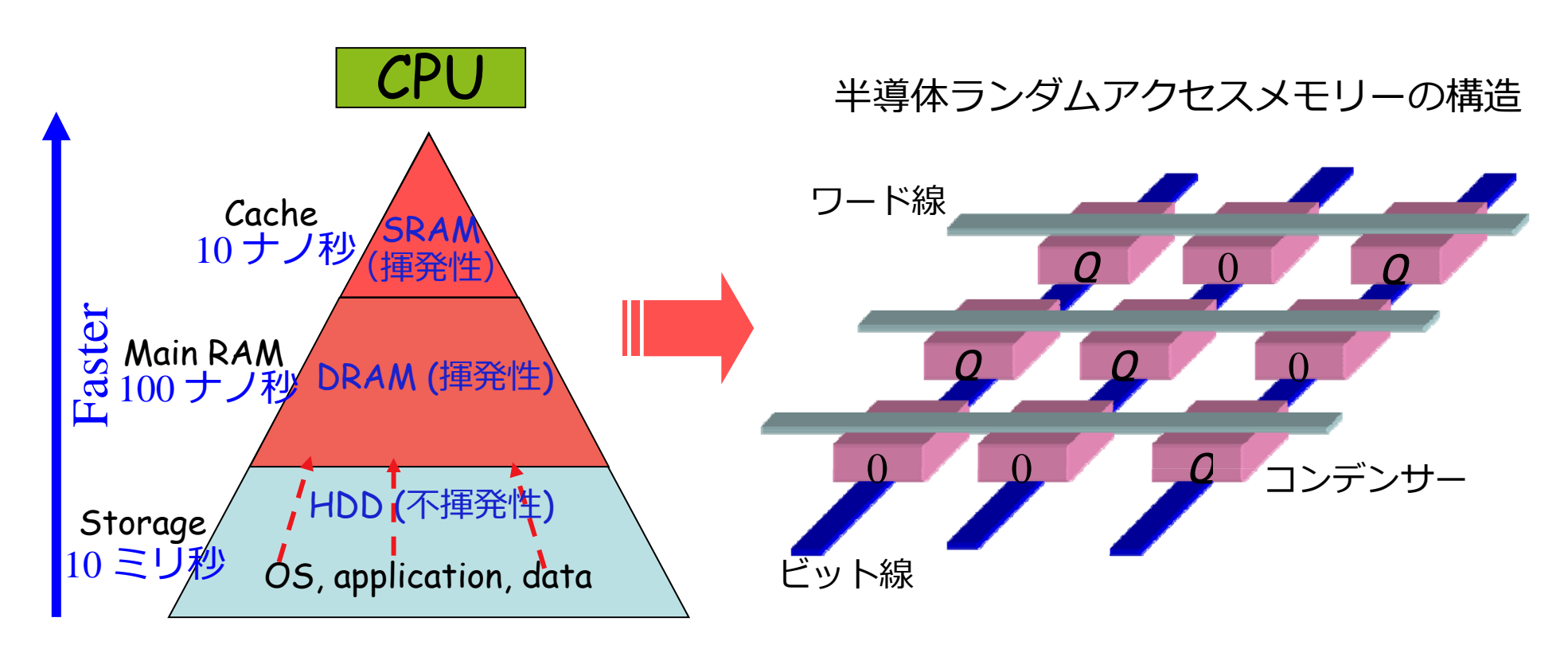
MRAM

高周波デバイス スピントランジスタ ポストHDD ??? ロニクス

???

トンネル磁気抵抗効果 Tunnel Magnetoresistance と磁気メモリー

コンピューターの階層構造



コンデンサーから電荷が漏れてしまうので 情報が短時間でなくなってしまう(揮発性)

常に情報を書き込み続けている!

ノーマリー・オン コンピューター エネルギーの無駄遣い ノーマリー・オフ な な な な な な な か ?

> ノーマリー・オフ コンピューターは 安藤功兒氏(産総研)の造語

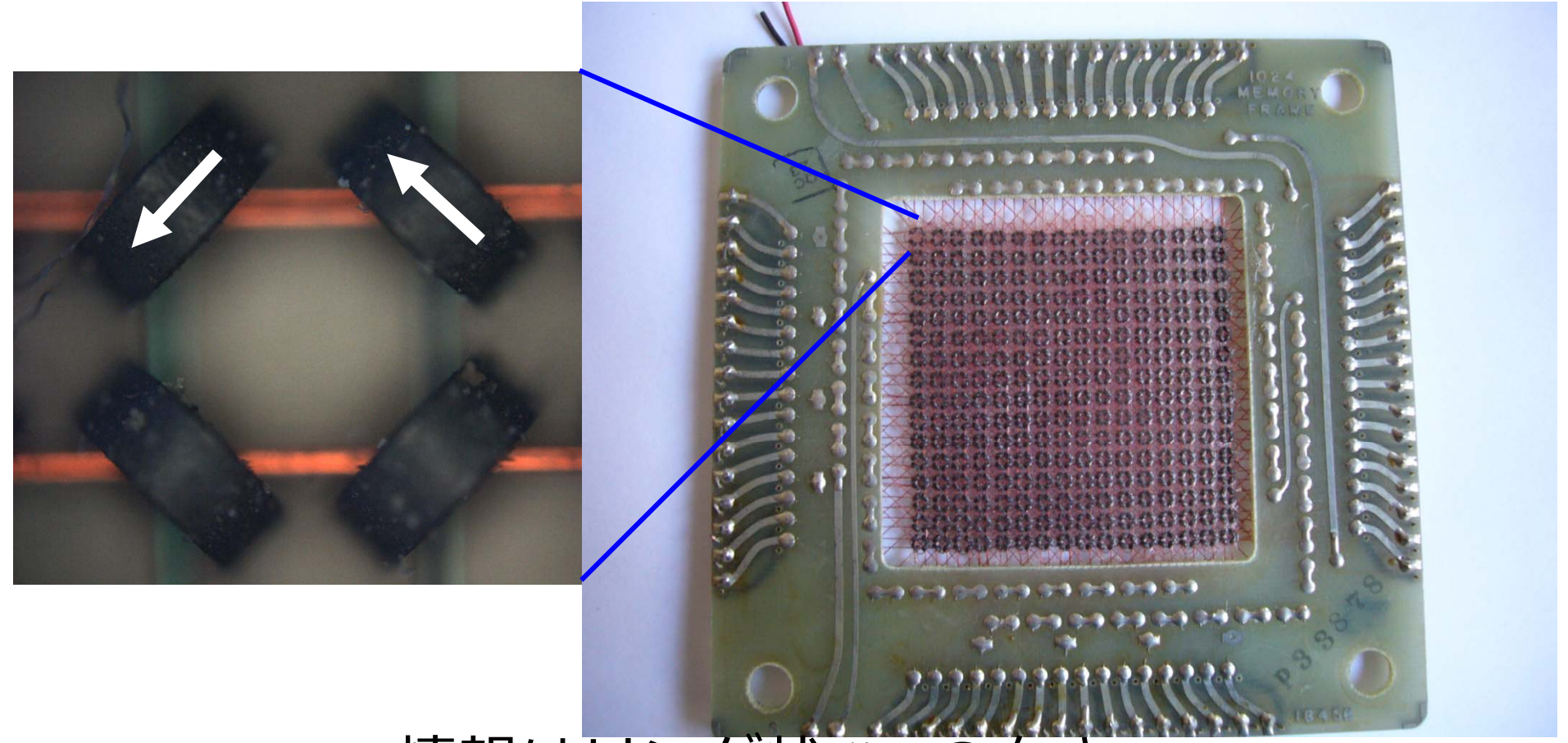
半導体メモリーが出来る前は コンピューターの情報は 磁気メモリーに蓄えられていた

TX-2 Magnetic Core Memory, Lincoln Laboratory, developed 1952-1959. The TX-2 had three core memories. This is the fast 64k-word index memory.



@MIT museum

磁気コアメモリー



情報はリング状磁石の向き 電源を切っても情報は消えない!

しかし、微細化が困難であった。。。。 18

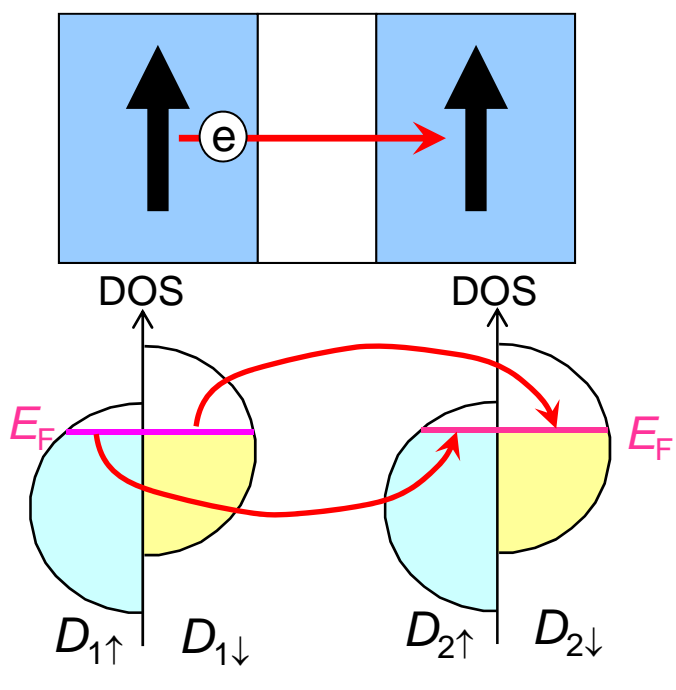
どうやって ノーマリー・オフ コンピューターを作るか?

小さな磁気メモリーを作るだけでよい!

TMR効果の機構

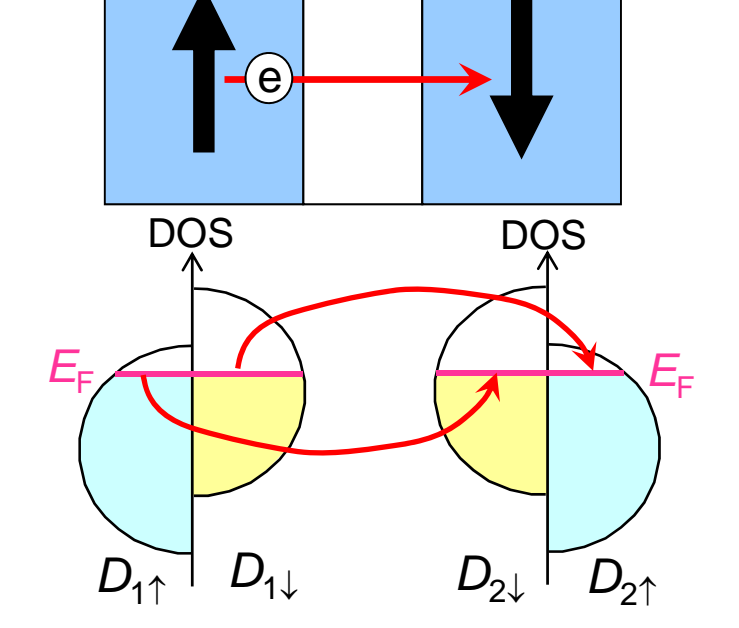
Julliereモデル(1975)

トンネル 障壁 FM 2 FM 1



平行磁化 トンネル抵抗: R_P

トンネル 障壁 FM₂ FM 1



反平行磁化 トンネル抵抗: *R_{AP}*

$$MR = (R_{AP} - R_P) / R_P = 2P_1P_2 / (1 - P_1P_2), \quad P_{\alpha} = \frac{(D_{\alpha} \uparrow (E_F) - D_{\alpha} \downarrow (E_F))}{(D_{\alpha} \uparrow (E_F) + D_{\alpha} \downarrow (E_F))}, \quad \alpha = 1, 2.$$

(Courtesy of Shinji Yuasa(AIST))

スピン分極率

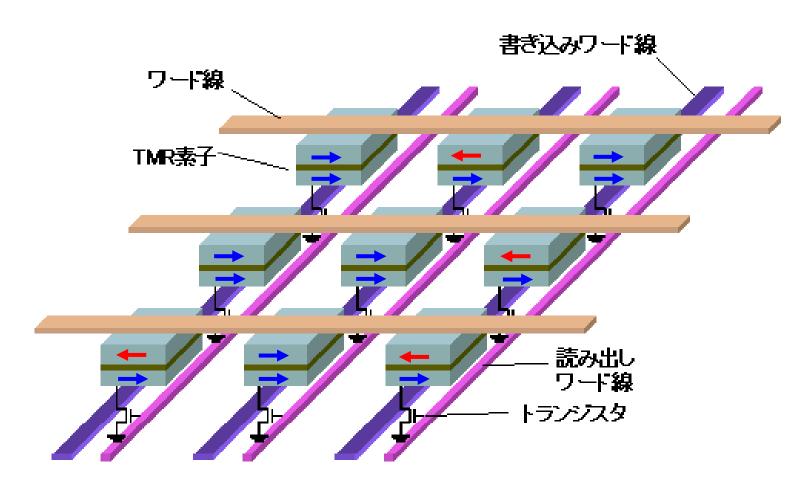
3d強磁性金属・合金のスピン分極率P MR 比 ~ 100 % (低温)



P < 0.6 (低温における実験値)

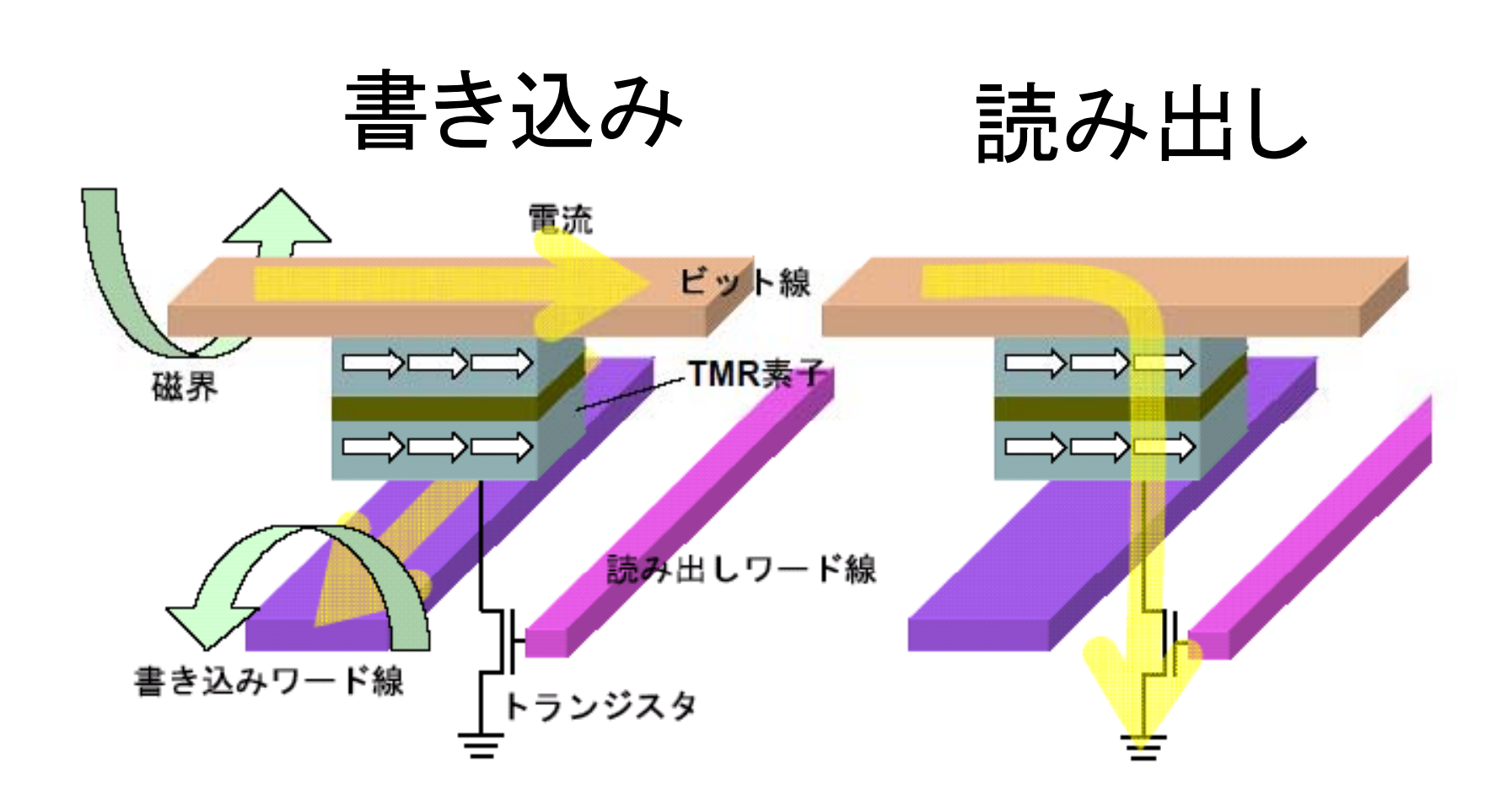
~ 70 % (室温)

磁気ランダムアクセスメモリー(MRAM) の概念図



不揮発・高速読み書き・無限書換え耐性

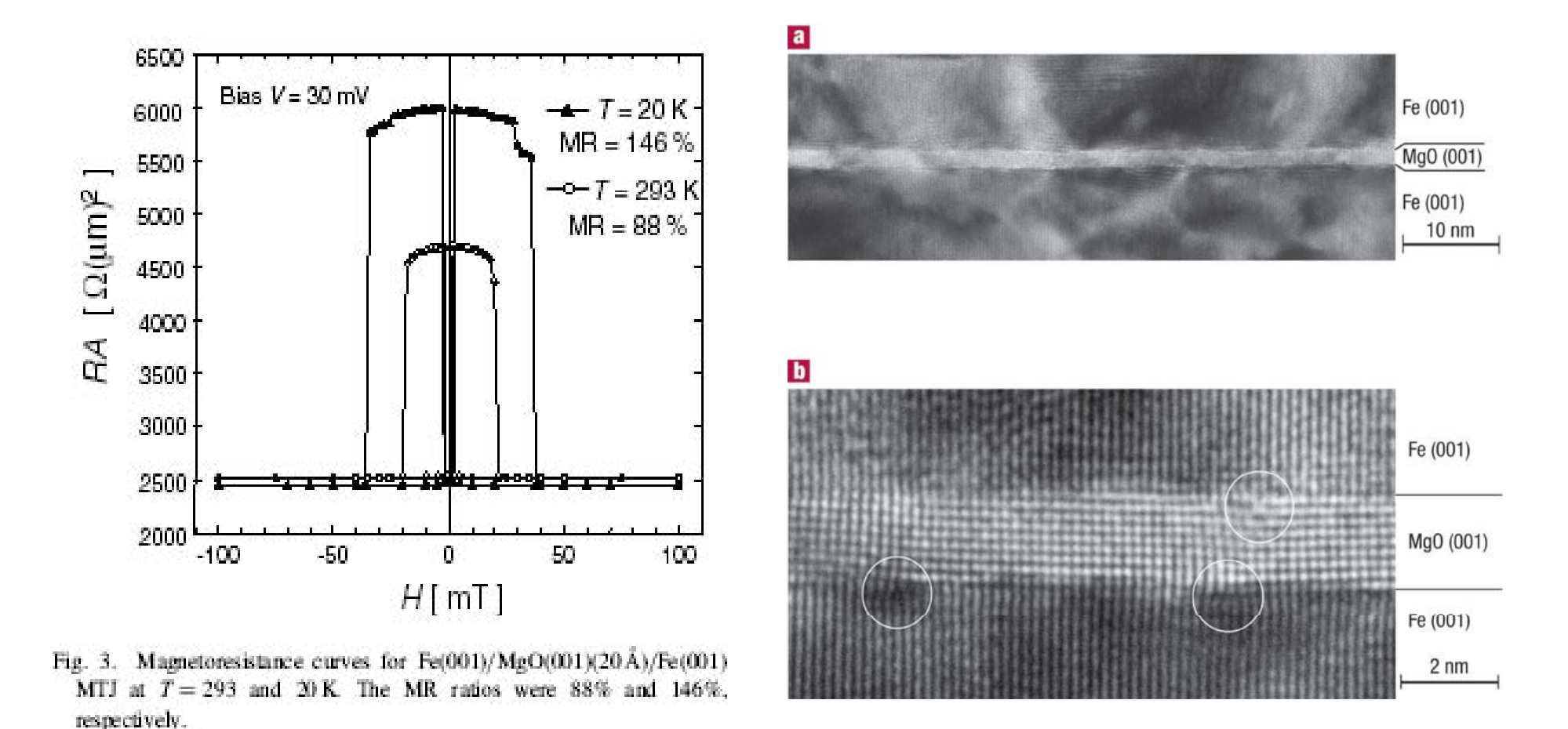
動作原理





[1] Yuasa, *Jpn. J. Appl. Phys.* 43, L558 (2004).[2] Yuasa, *Nature Mater.* 3, 868 (2004).[3] Parkin, *Nature Mater.* 3, 862 (2004).

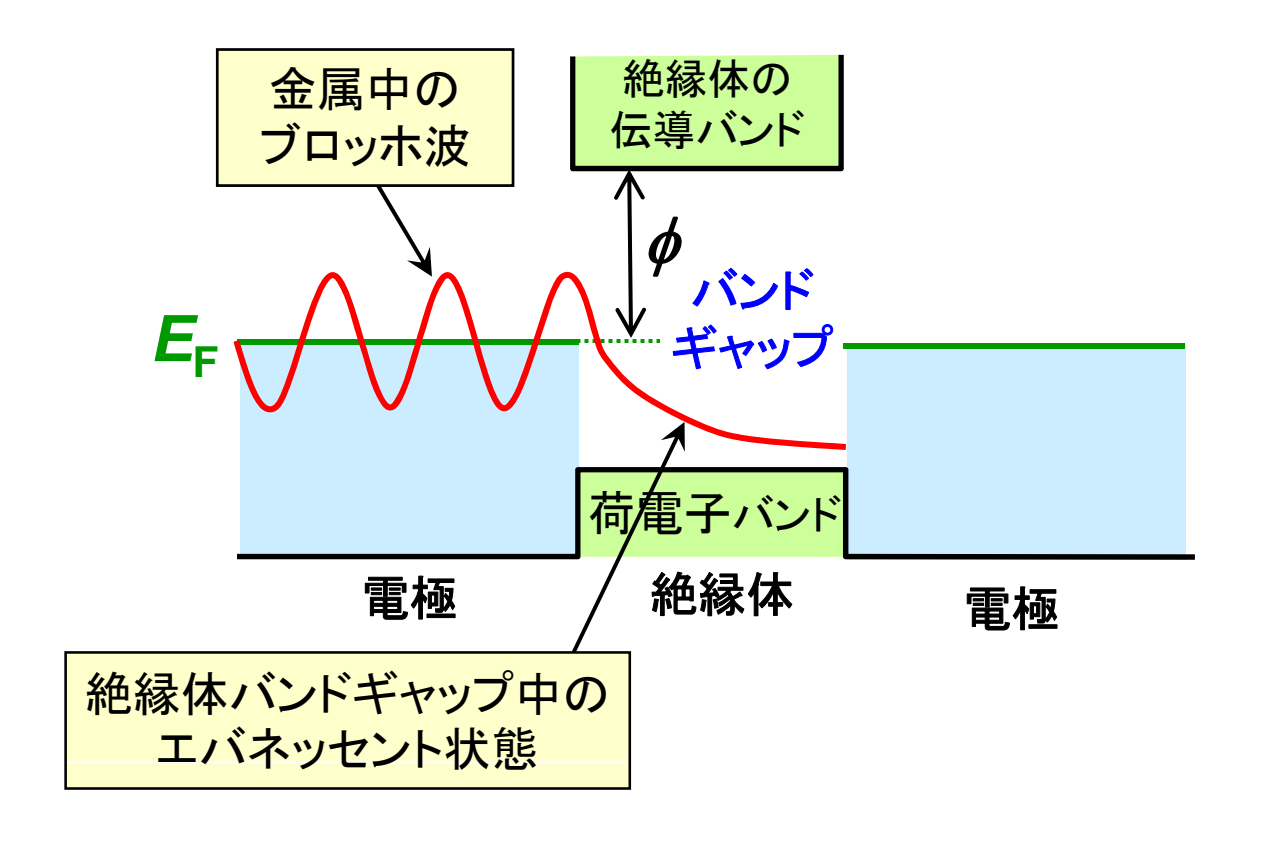
Fe/MgO/Fe MTJ



S. Yuasa *et al., Nature Materials* **3,** 868–871 (2004)

(Courtesy of Shinji Yuasa(AIST))

現実の絶縁体トンネル障壁の電子トンネル



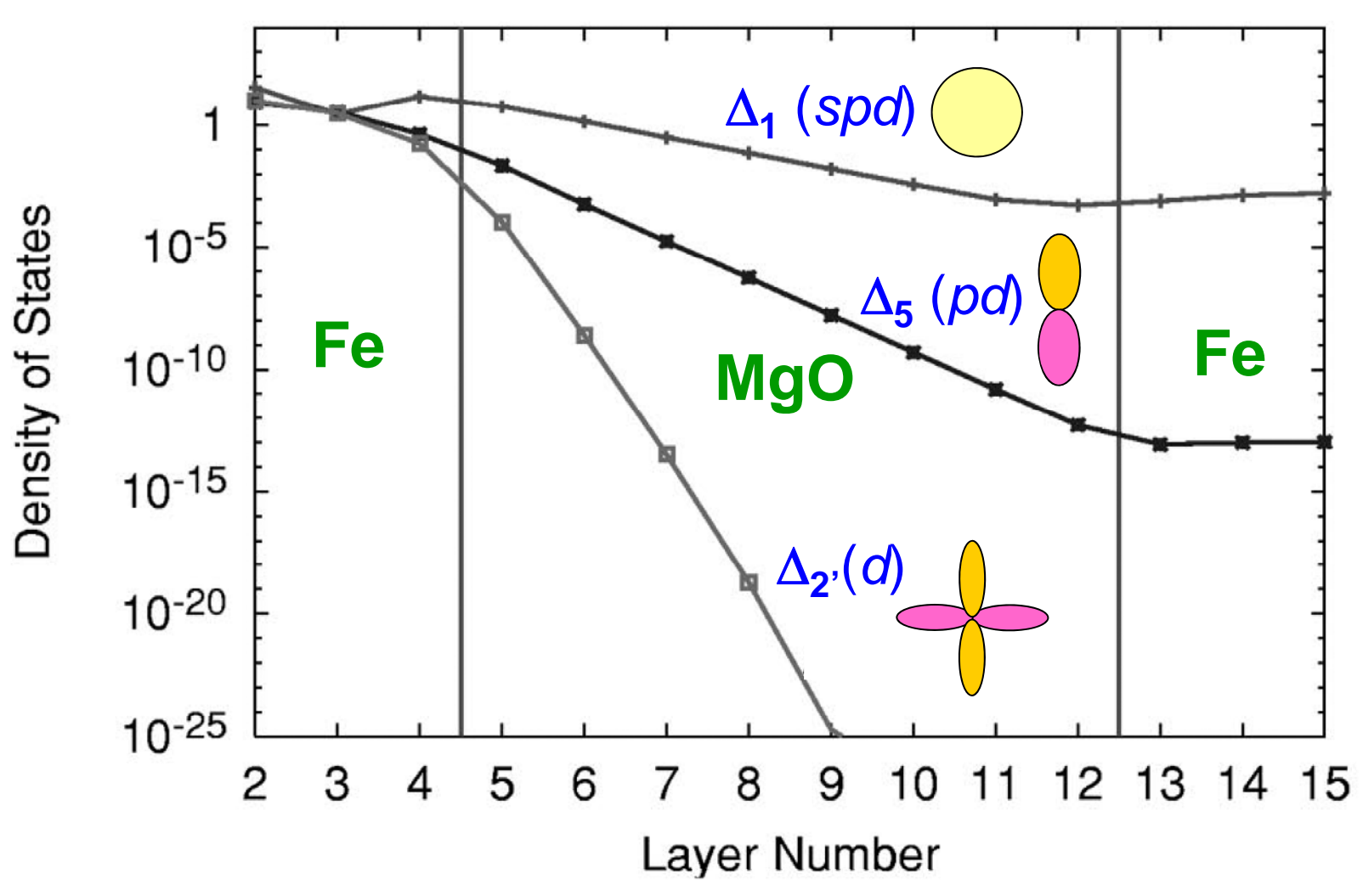
ブロッホ状態や エヴァネッセント状態は、

(i) 特有の波動関数の軌道対称性 と (ii) 特有のバンド分散 を持っている

ブロッホ状態とエバネッセント状態が、界面でどのように接続するか?

MgO障壁内のエヴァネッセント状態の減衰長

Majority Density of States for Fe|MgO|Fe

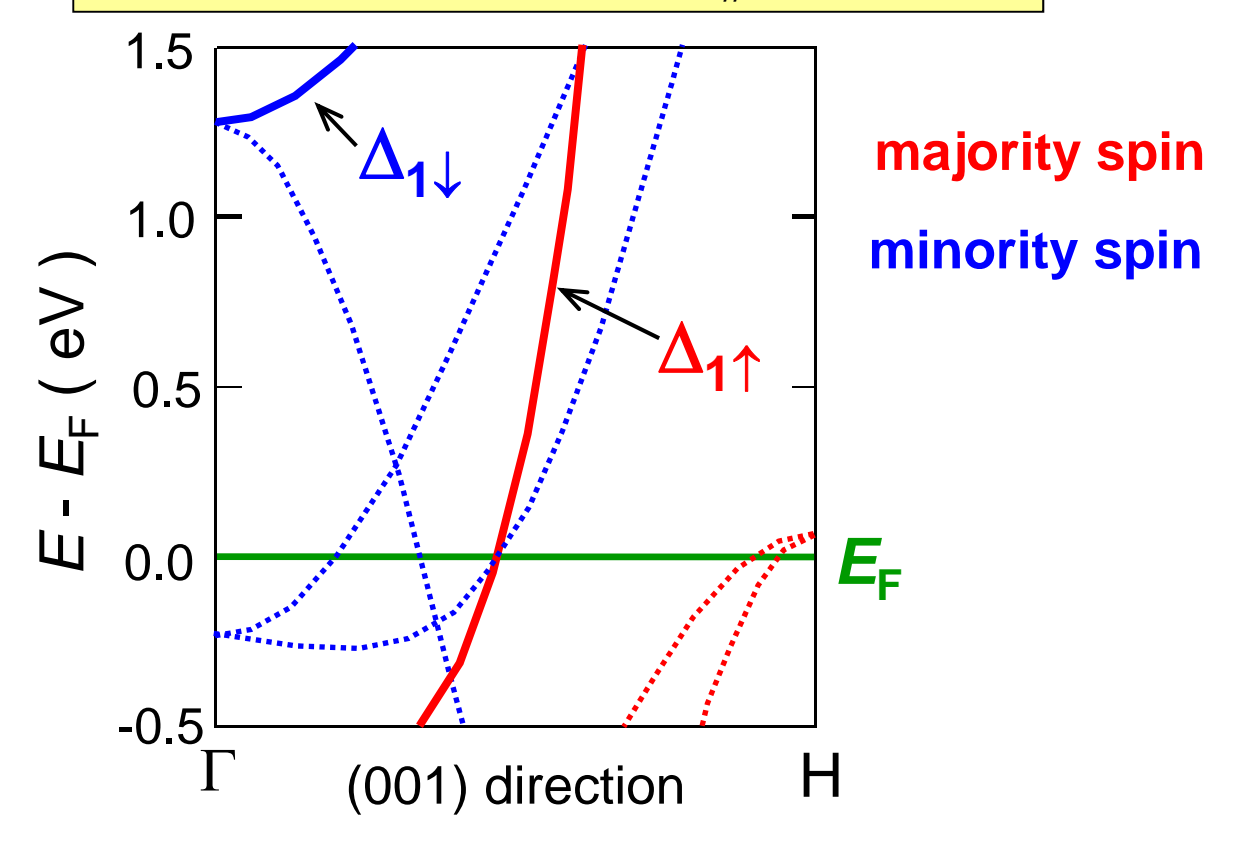


•Butler et al., Phys. Rev. B 63, 056614-1 (2001).

(Courtesy of Shinji Yuasa(AIST))

26





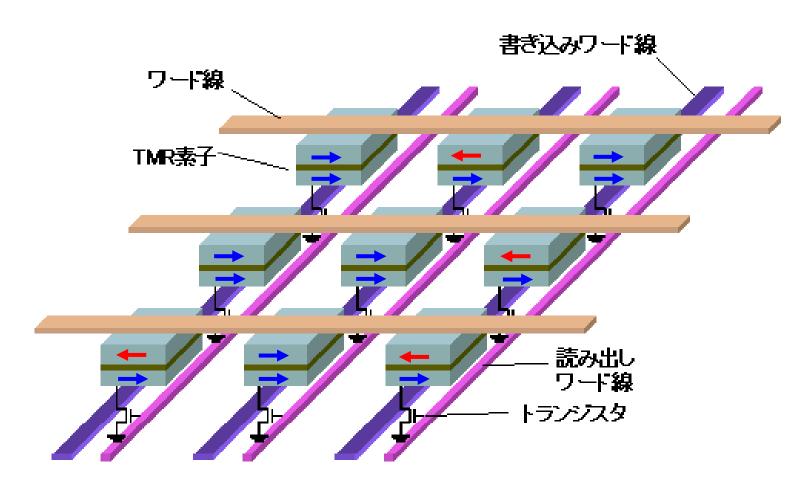
完全にスピン分極した Δ_1 バンド(P=1)

⇒ 巨大なTMR効果 が理論的に期待される

 Δ_1 バンドが完全にスピン分極しているのは bcc Fe に限った話ではなく、 Fe や Co を主成分とする bcc強磁性合金は類似のバンド構造を持つ (例) bcc Fe-Co, ホイスラー合金

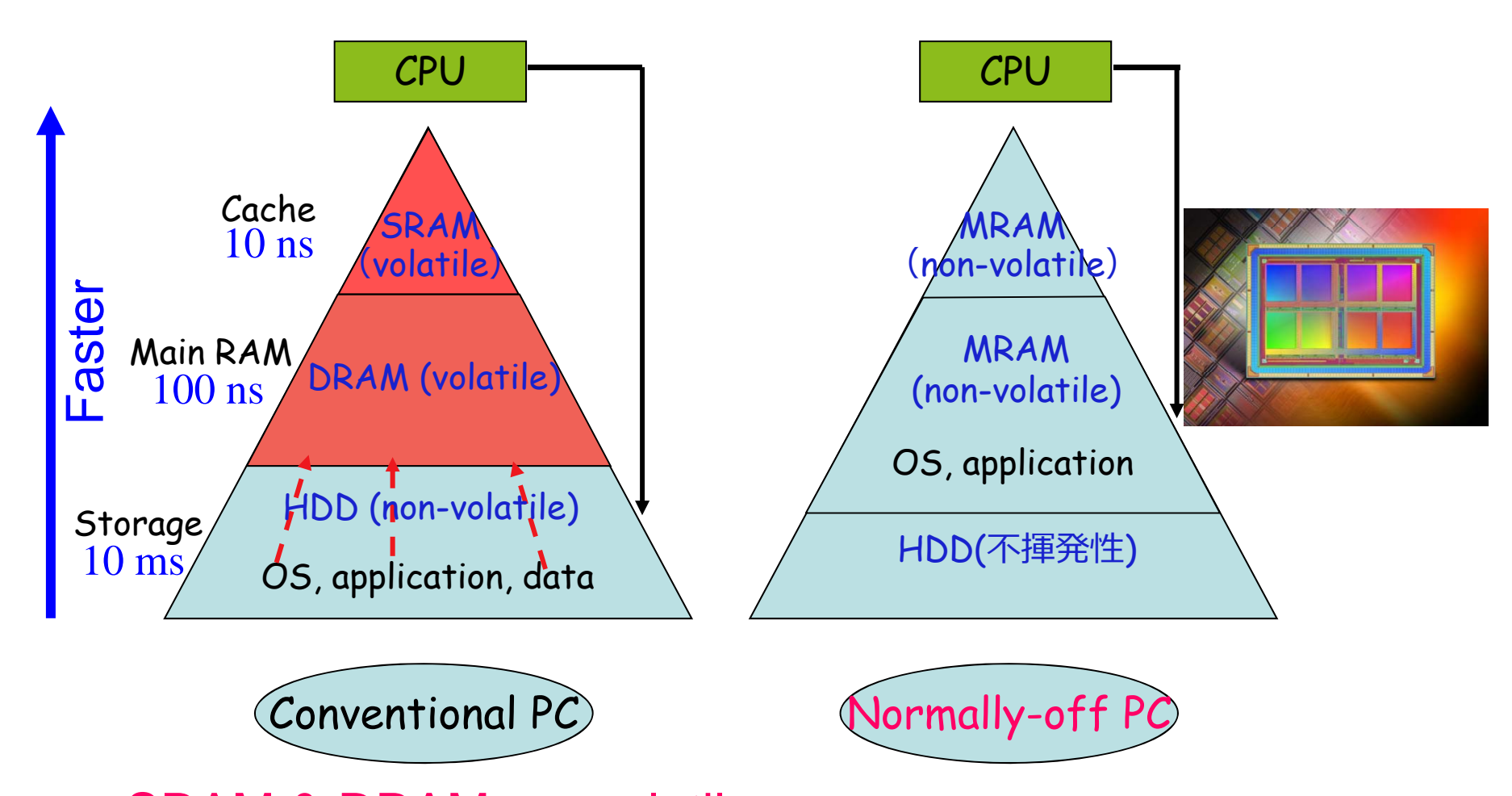
(Courtesy of Shinji Yuasa(AIST))

磁気ランダムアクセスメモリー(MRAM) の概念図



不揮発・高速読み書き・無限書換え耐性

Normally-off computer の実現へ向けて



SRAM & DRAM are volatile 記憶保持のために, Normally-On

エバースピン社がMRAM製造を開始 2006~

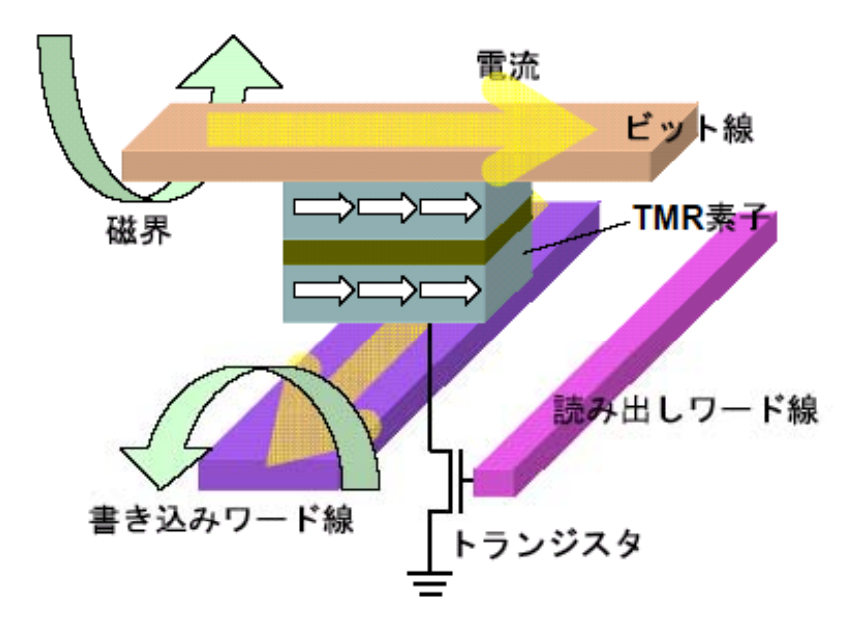


しかし、たったの 16 Mb...

DRAMを置き換えるには1 Gb MRAMが必要

何が問題なのか?

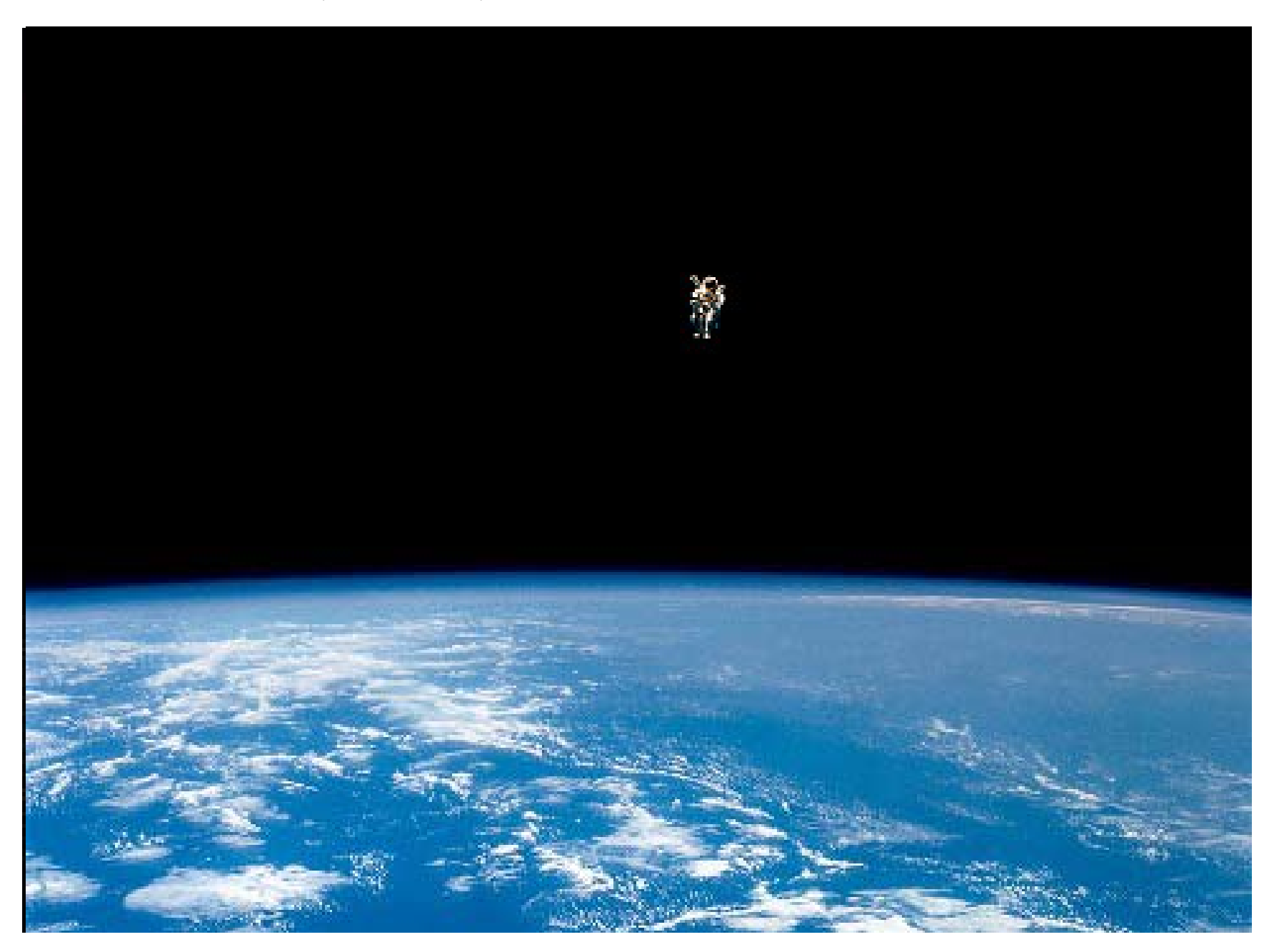
現状MRAMの限界



アンペールの法則: $H = I/2\pi r$ 集積化のために書込線の幅が狭くなると 電流密度が上がって融けてしまう。。。

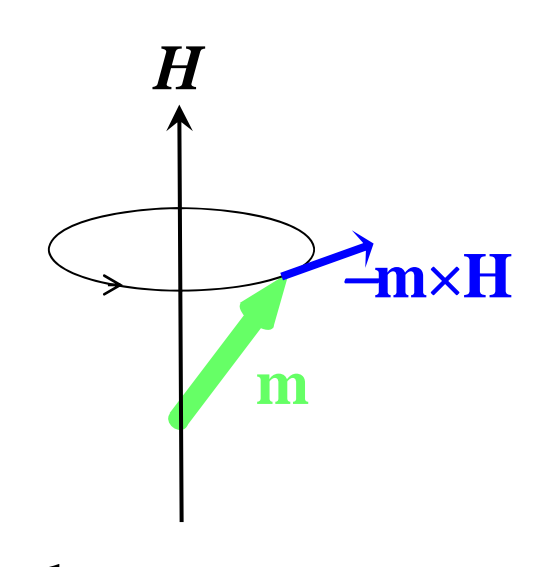
磁場を使わず 電荷とスピンの量子力学的結合を利用31

新婚旅行で宇宙遊泳



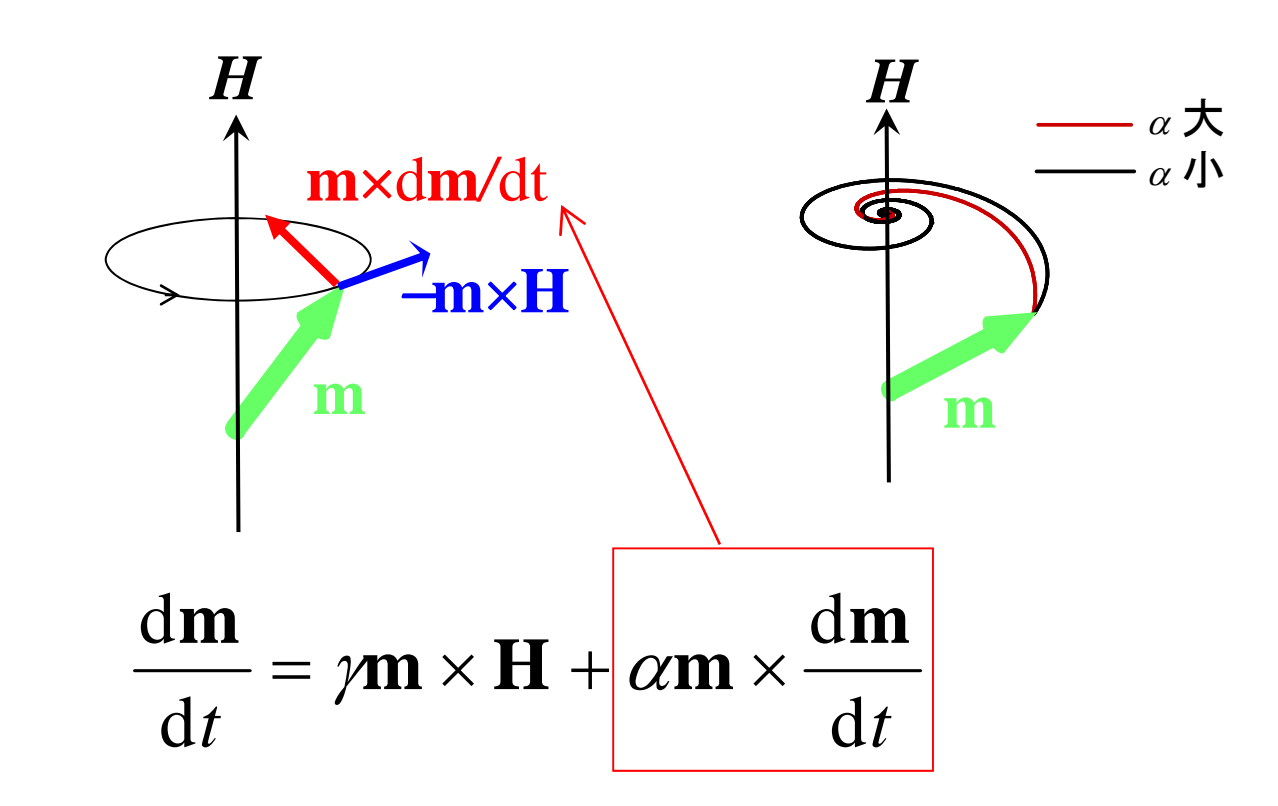
スピントランスファー効果 ・スピン注入磁化反転 とMRAM

磁化のダイナミクス



$$\frac{\mathrm{d}\mathbf{m}}{\mathrm{d}t} = \gamma \mathbf{m} \times \mathbf{H}$$

ラーモア歳差運動

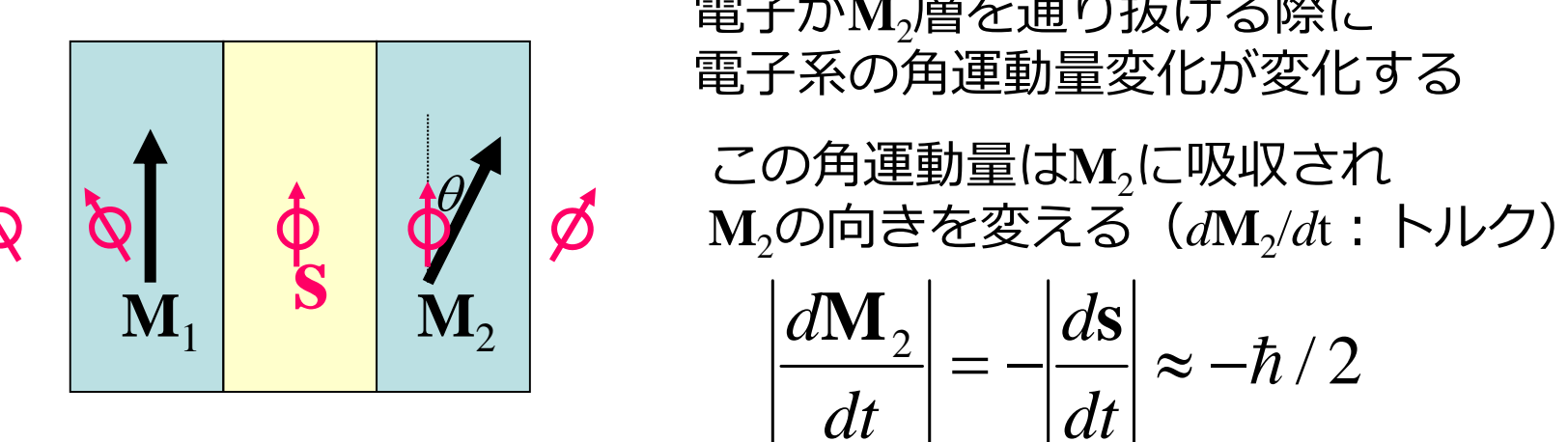


LLG(Landau-Lifshits-Gilbert)方程式

これを見つめて考えればよい

スピントランスファー効果

電子のスピンと磁化の作用・反作用



電子がM。層を通り抜ける際に 電子系の角運動量変化が変化する

$$\left| \frac{d\mathbf{M}_2}{dt} \right| = -\left| \frac{d\mathbf{s}}{dt} \right| \approx -\hbar/2$$

トルクの向きはMoがsに倒れる方向なので、

1電子通過によるMっに働くトルクは

$$\frac{d\mathbf{M}_{2}}{dt} = -\frac{d\mathbf{s}}{dt} \approx -\frac{\hbar}{2} \mathbf{m}_{2} \times (\mathbf{m}_{2} \times \mathbf{m}_{1})$$

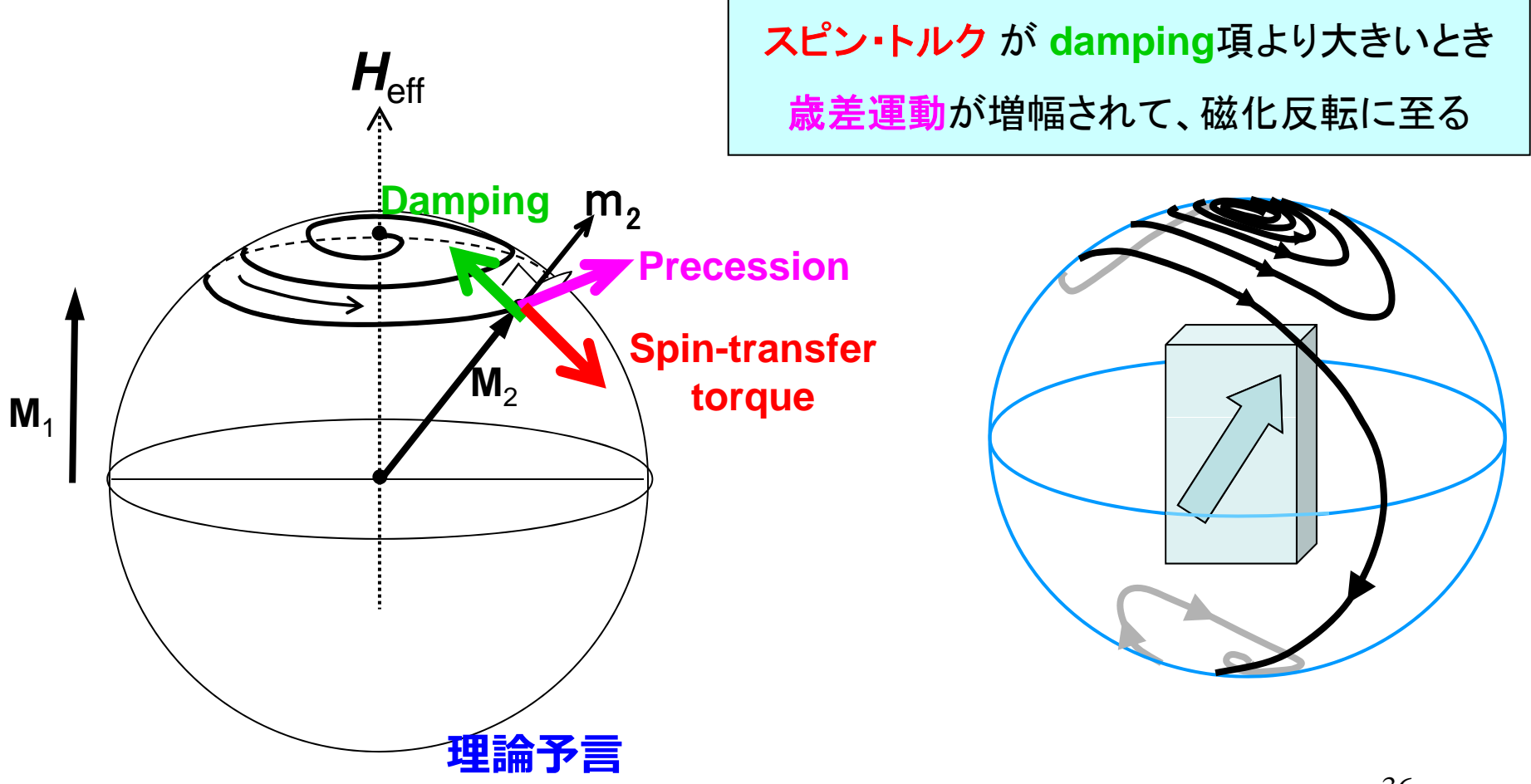
$$(\mathbf{m}_{1}, \mathbf{m}_{2} \cup \mathbf{M}_{1}, \mathbf{M}_{2} 方 向 の 単位 ベク ト ル)$$

電流I。が流れる時のスピントランスファートルクは

$$\frac{d\mathbf{M}_2}{dt} \approx -\frac{\hbar}{2} \mathbf{m}_2 \times (\mathbf{m}_2 \times \mathbf{m}_1) \times \frac{I_e}{e}$$
 35

M₂の運動を司る運動方程式は

$$\frac{d\mathbf{M}_{2}}{dt} = \underline{\gamma}\mathbf{M}_{2} \times \mathbf{H}_{eff} + \alpha \mathbf{m}_{2} \times \frac{d\mathbf{M}_{2}}{dt} - g(\theta) \frac{\hbar}{2} \frac{I_{e}}{e} \mathbf{m}_{2} \times (\mathbf{m}_{2} \times \mathbf{m}_{1})$$



J. C. Slonczewski, J. Magn. Magn. Mater. 159 (1996) L1. 36

磁化反転に必要な電流は?

$$\frac{d\mathbf{M}_{2}}{dt} = \gamma \mathbf{M}_{2} \times \mathbf{H}_{eff} + \alpha \mathbf{m}_{2} \times \frac{d\mathbf{M}_{2}}{dt} - g(\theta) \frac{\hbar}{2} \frac{I_{e}}{e} \mathbf{m}_{2} \times (\mathbf{m}_{2} \times \mathbf{m}_{1})$$

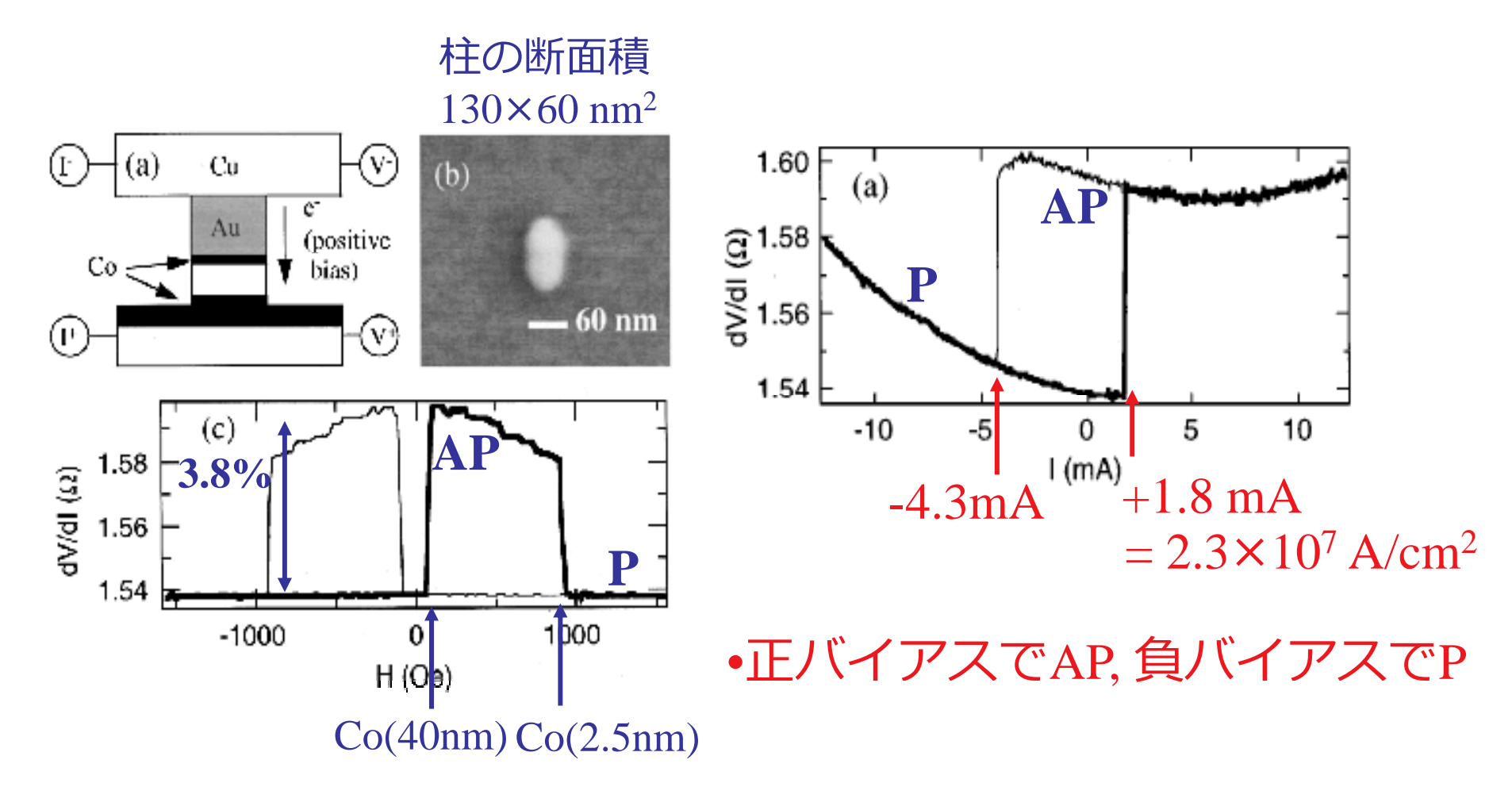
dM2/dtがおもに歳差運動で決まる場合は、

ダンピング項のdM $_2$ /dtに γ M $_2$ ×H $_{eff}$ を代入して

$$\frac{d\mathbf{M}_{2}}{dt} \approx \gamma \mathbf{M}_{2} \times \mathbf{H}_{eff} + \alpha \mathbf{m}_{2} \times \gamma \mathbf{M}_{2} \times \mathbf{H}_{eff} - g(\theta) \frac{\hbar}{2} \frac{I_{e}}{e} \mathbf{m}_{2} \times (\mathbf{m}_{2} \times \mathbf{m}_{1})$$
$$\mathbf{M}_{1} / \mathbf{H}_{eff} \mathcal{O}$$
場合は、
$$\mathbf{H}_{eff} = H_{eff} \mathbf{m}_{1}, \quad \text{さらに} \mathbf{M}_{2} = M_{2} \mathbf{m}_{2} \text{ なので}$$

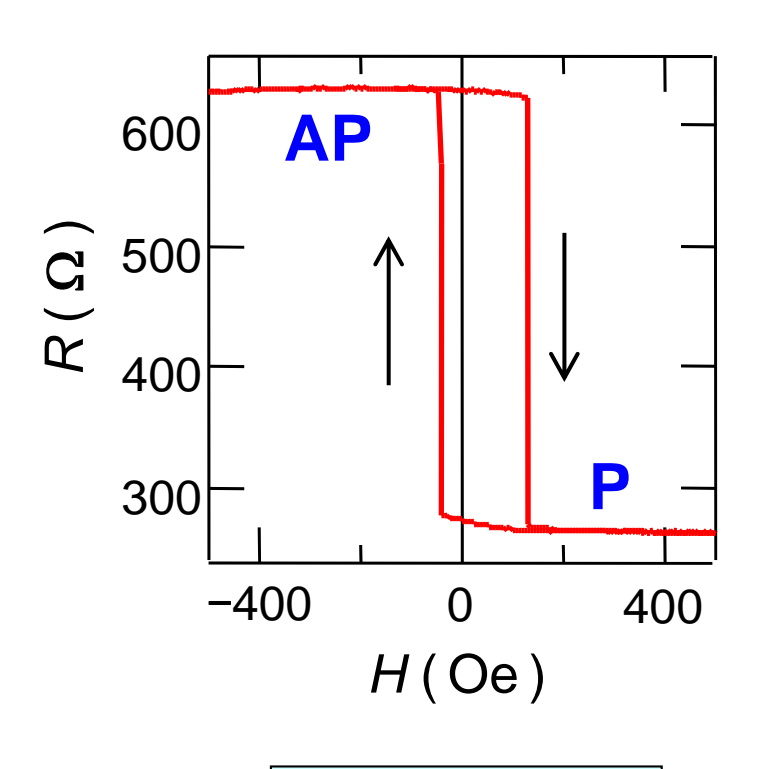
$$I_{c} = \frac{2e\alpha\gamma M_{2}H_{eff}}{g(\theta)\hbar} = \frac{e\gamma}{g(\theta)\mu_{\mathbf{B}}}\alpha M_{s}VH_{eff}$$

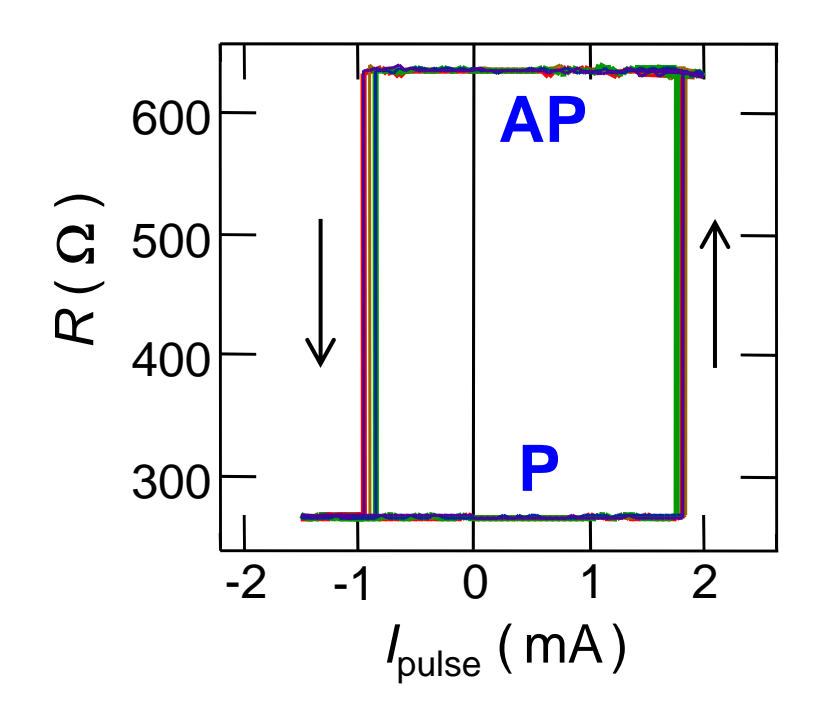
スピン注入磁化反転



F.J. Albert et al., Appl. Phys. Lett., 77 (2000) 3809.

MgO-MTJ 素子のスピン・トルク磁化反転



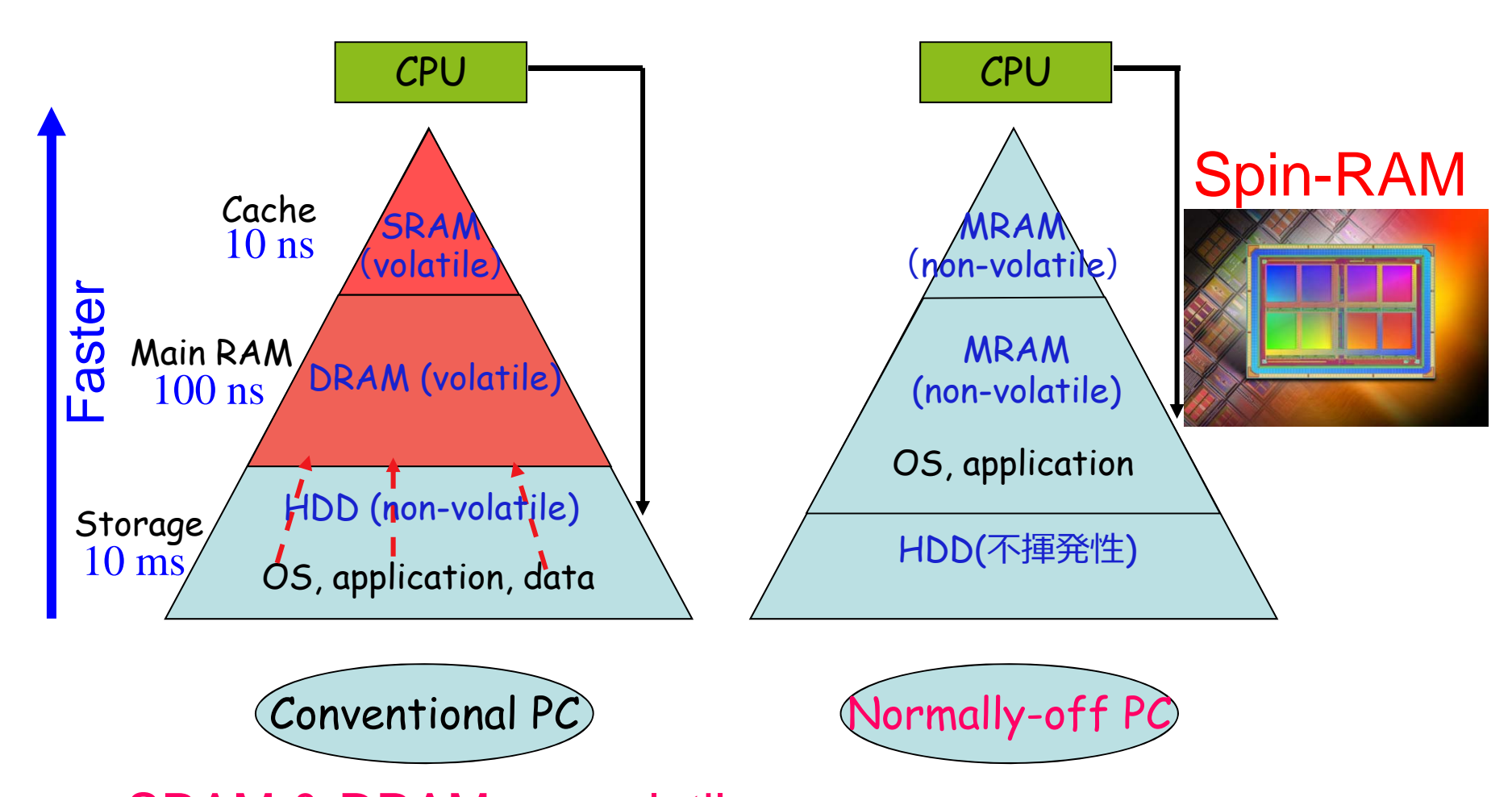


磁界書き込み

スピン注入書き込み

H. Kubota, SY et al., Jpn. J. Appl. Phys. 44, L1237 (2005).

Normally-off computer の実現へ向けて



SRAM & DRAM are volatile 記憶保持のために, Normally-On

スピンエレクトロニクスの展開

スピン依存伝導

磁気構造 → 電気伝導

- •巨大磁気抵抗効果
- •トンネル磁気抵抗効果

スピントランスファー

スピン電流 →磁気構造

- •スピン注入磁化反転
 - •磁壁電流駆動
 - •マイクロ波発振
- •スピントルクダイオード

スピンホール効果

HDD

MRAM

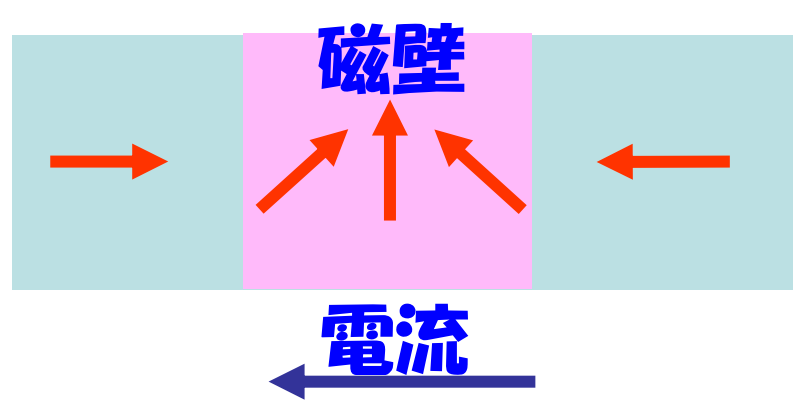
高周波デバイス スピントランジスタ ポストHDD ??? ロニクス

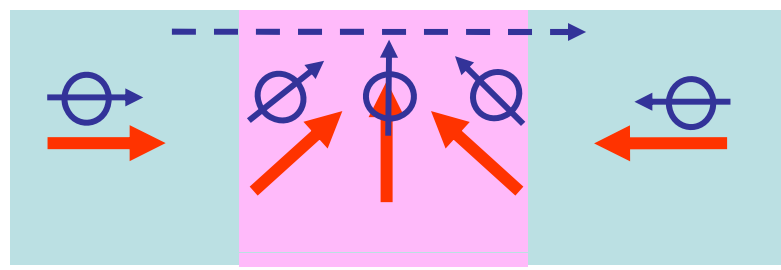
???

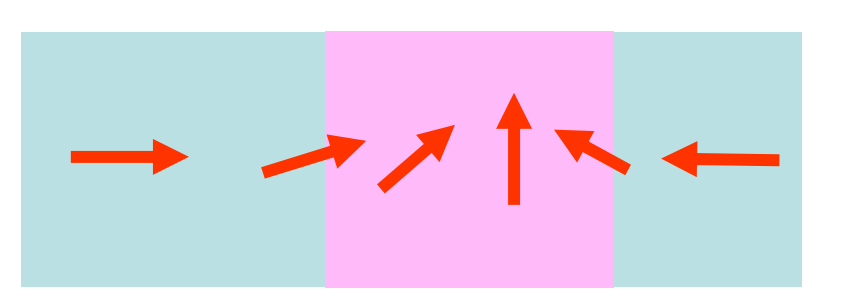
スピントランスファー効果

• 電流駆動磁壁移動

電流で磁石の境界(磁壁)を動かす(伝導電子のスピンと磁石の作用・反作用)







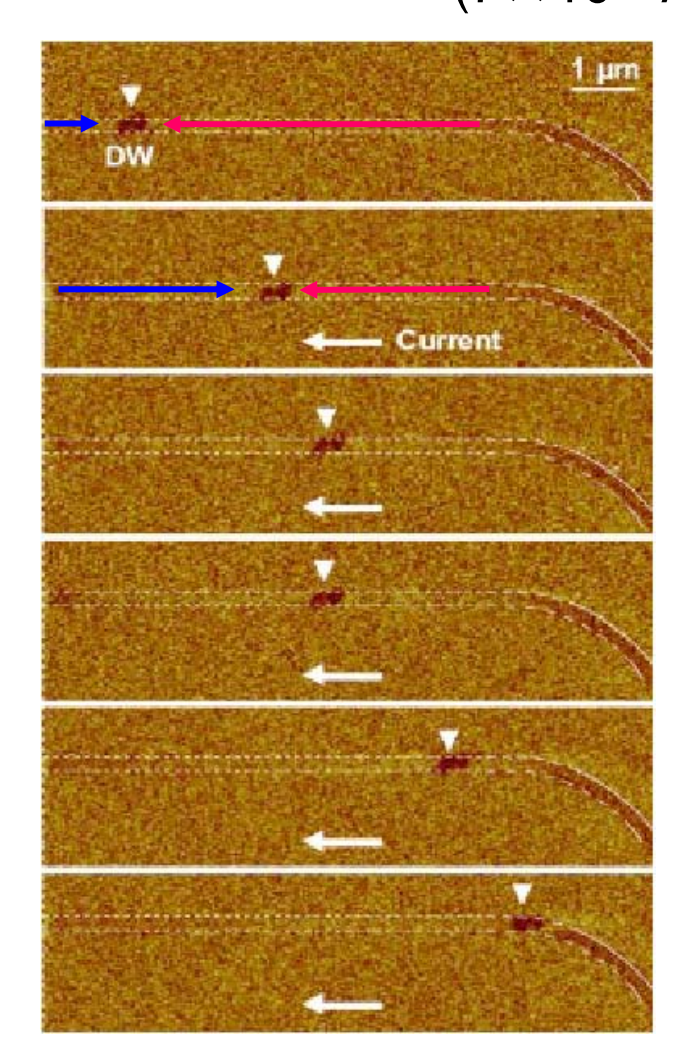
電子は反時計回りに回転

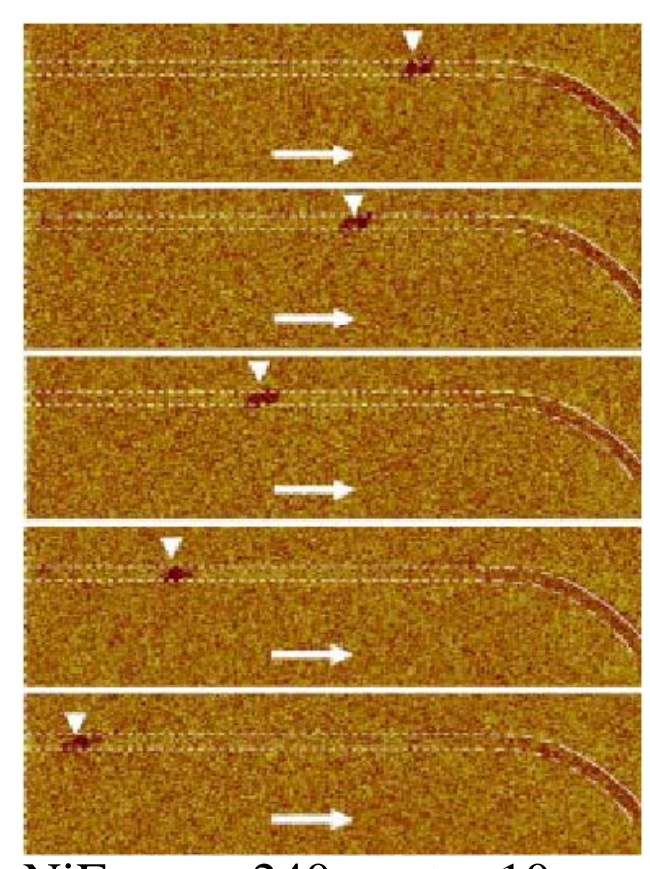
灬 作用·反作用!

磁化が時計回りに回転

電流を流すだけで磁場なしで磁石の状態を変えられる!

電流パルスによる磁壁移動観察結果 (7×10¹¹ A/m², 0.5 µs)

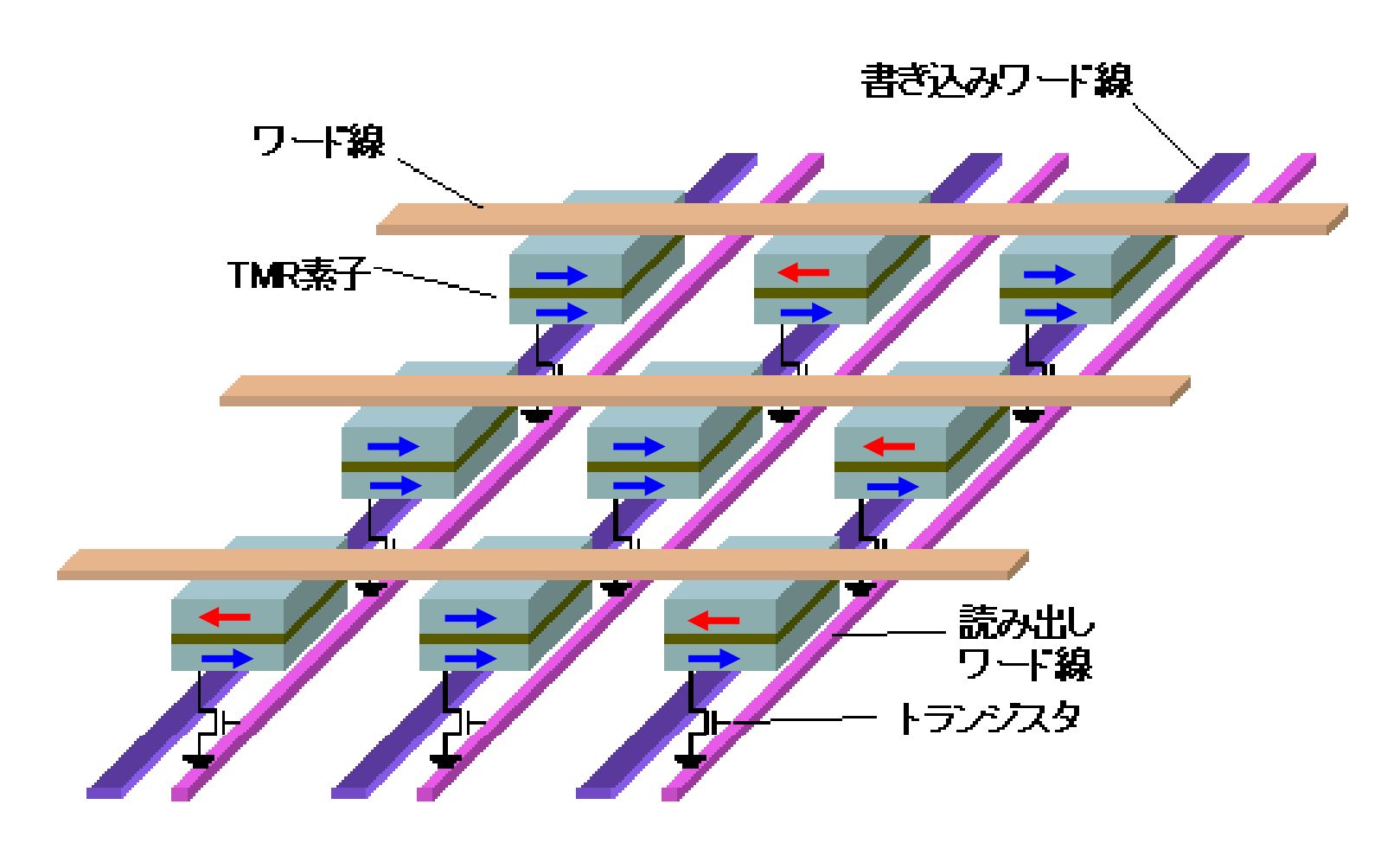




NiFe, w = 240nm, t = 10nmPhys. Rev. Lett., 92 (2004) 077205.

磁壁の位置は電流を流すだけで制御できる!

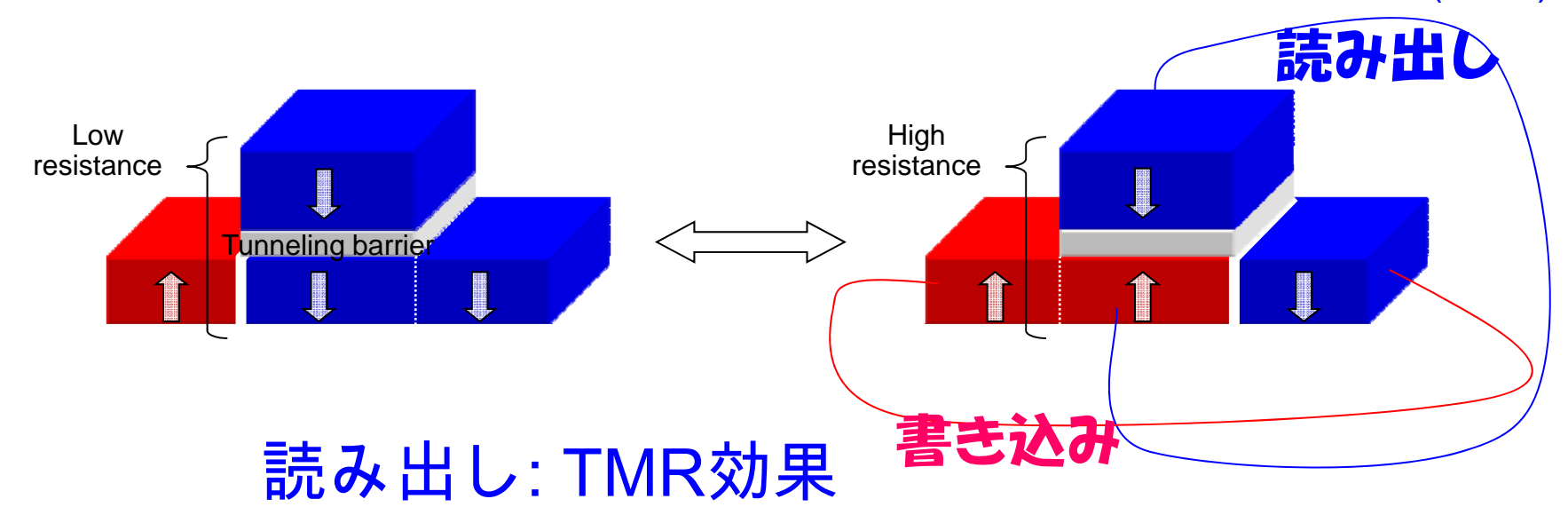
磁気ランダムアクセスメモリー(MRAM) の概念図



不揮発・高速読み書き・無限書換え耐性

NEC提案の磁壁電流駆動-MRAM

S. Fukami et al., 52nd Conference on MMM Abstracts FE-06 (2007).



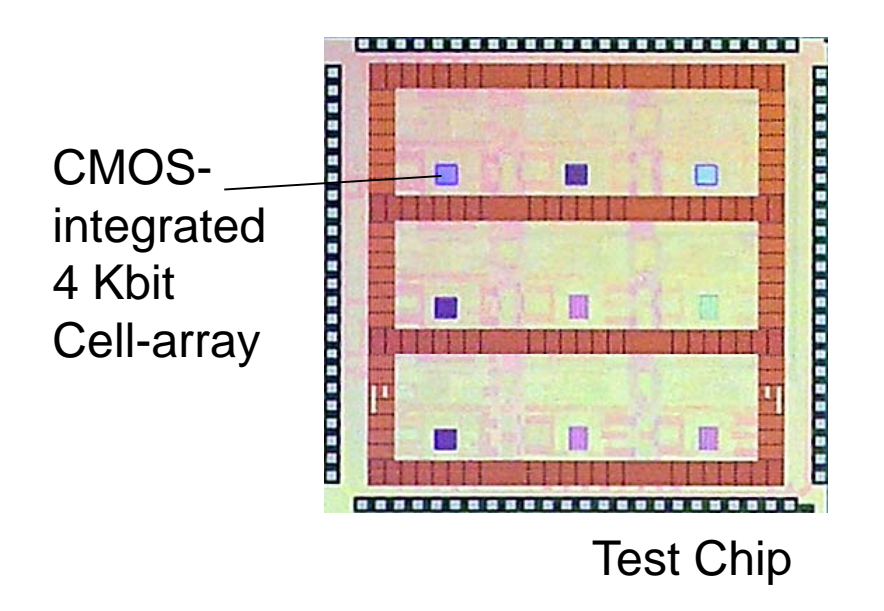
書き込み: 磁壁の電流駆動

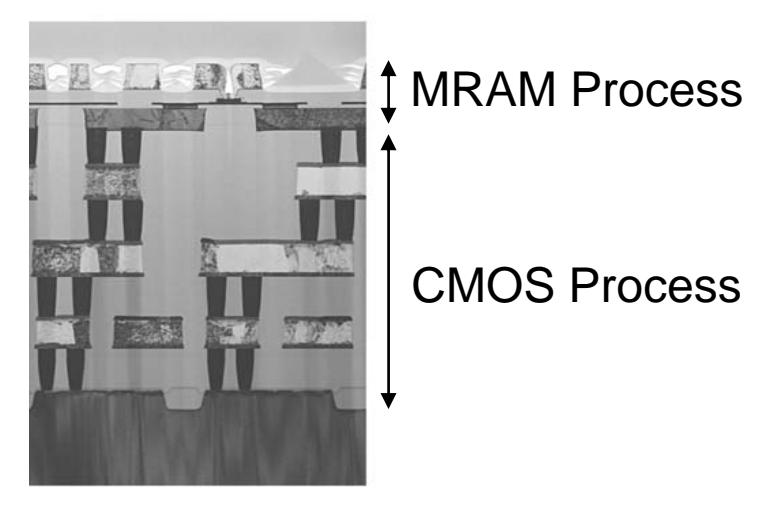


SRAM置き換えへ₄₆

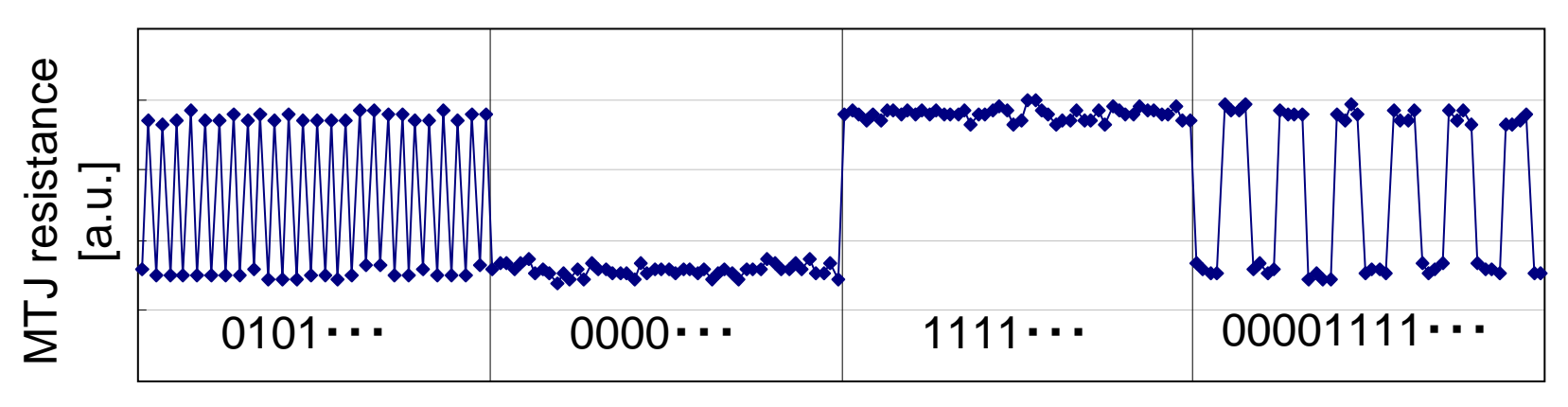
NEDO Spintronics nonvolatile devices project

磁壁メモリーの動作実証(NEC)





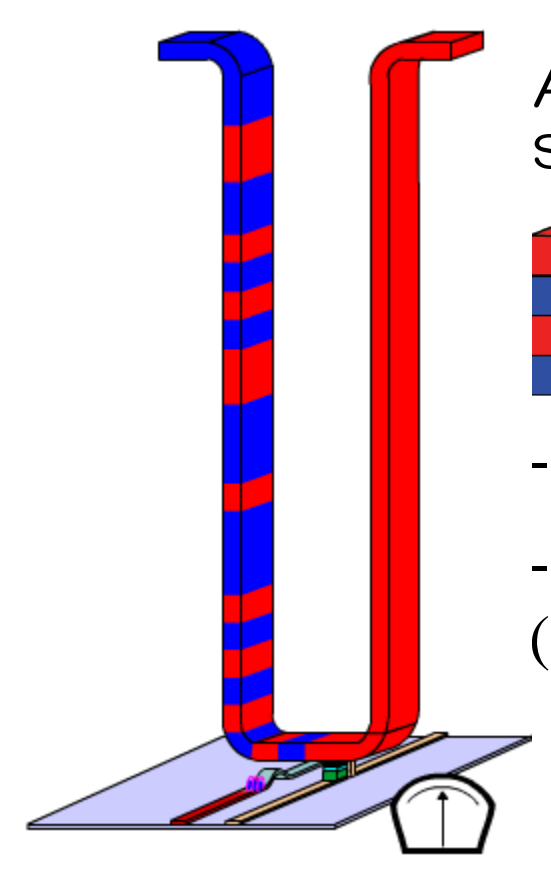
Cross Section of Test Chip



Write-Read Cycle >109

Symposium on VLSI Technology, 2009.6.17

Magnetic Racetrack Memory proposed by IBM

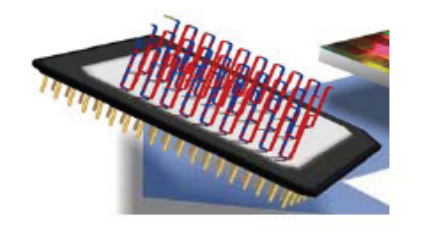


A novel three-dimensional spintronic storage class memory



Magnetic nanowires: information stored in the domain walls

- -Capacity of a hard disk drive
- -Reliability and performance of solid state memory (DRAM, FLASH, SRAM...)



DRAM (Samsung)

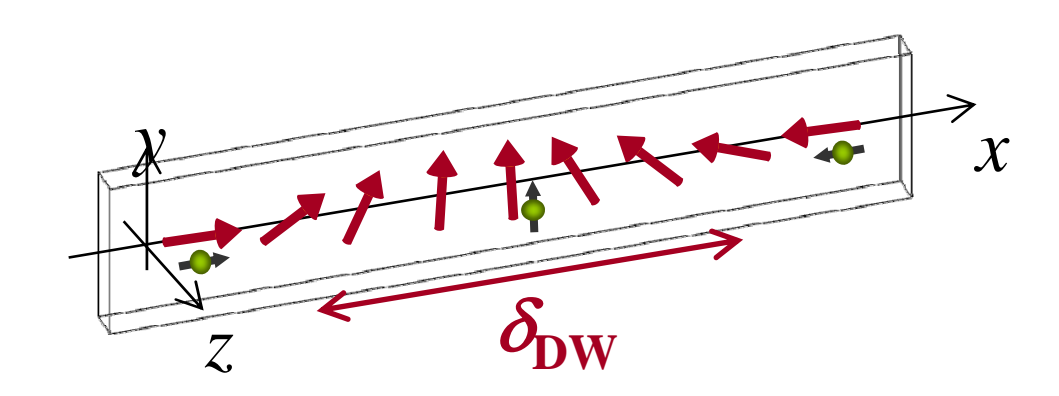
FLASH (TDK)

or

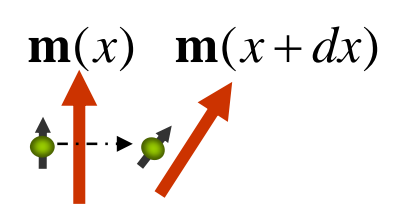


Courtesy of Stuart Parkin (IBM)

スピン分極電流による磁壁内のスピントランスファートルク



adiabatic limit: $\delta_{\rm DW} >> \hbar v_F / E_{sd}$ であれば伝導電子のスピンの向きが 磁壁内部の局所的な磁化の向きに完全に追従して変化することができる



s電子の磁化変化=d電子の磁化変化

$$\frac{j}{e}P\mu_{\rm B}\frac{\partial\mathbf{m}}{\partial x} = -\frac{\partial\mathbf{m}}{\partial t}M_{s}$$

$$\frac{\partial \mathbf{m}}{\partial t} = -\frac{j\mu_{\rm B}P}{eM_s} \frac{\partial \mathbf{m}}{\partial x} \equiv -(\mathbf{u} \cdot \nabla)\mathbf{m}, \quad \mathbf{u} = \frac{\mu_{\rm B}P}{eM_s} \mathbf{j}$$

 $Ni_{80}Fe_{20}$ に対しては、 $j = 10^{12} \, A/m^2 \, \text{Tu} = 50 \, \text{m/s}$

uはMsで規格化したスピン流の速度 効率100%なら磁壁はこの速度で動く

電流駆動磁壁移動のダイナミクス

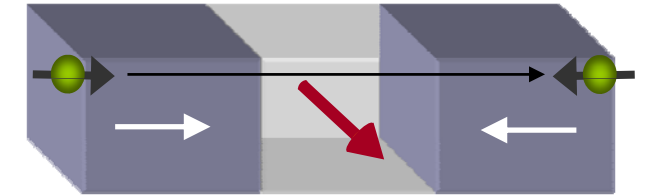
Modified LLG eq. with spin-transfer term

$$\frac{\partial \mathbf{m}}{\partial t} = \mathbf{pm} \times \mathbf{H}_{eff} + \alpha \mathbf{m} \times \frac{\partial \mathbf{m}}{\partial t} - \frac{j\mu_{B}P}{eM_{s\tau_{S}}} \frac{\partial \mathbf{m}}{\partial x}$$

 $au_{
m s}$ により磁壁内部の 磁化が傾く

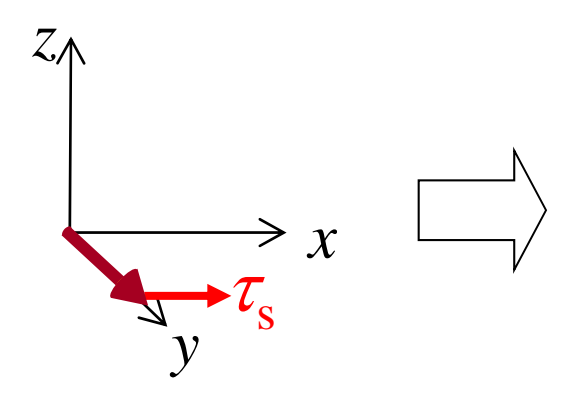


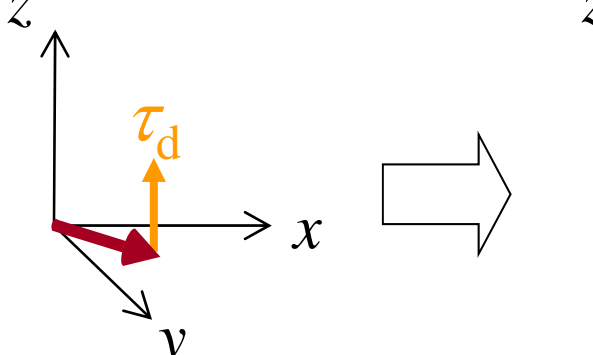
 $au_{
m k}$ と $au_{
m s}$ が釣り合うため、 磁壁が移動できない

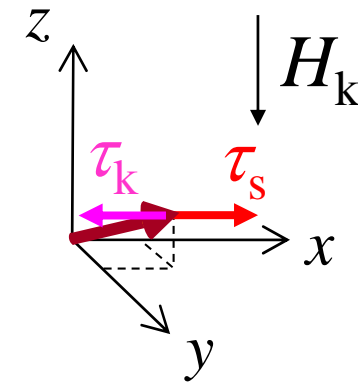












スピントルクがH_Kに打ち勝つと動き出す

しきい電流密度の求め方

Modified LLG eq. with spin-transfer term

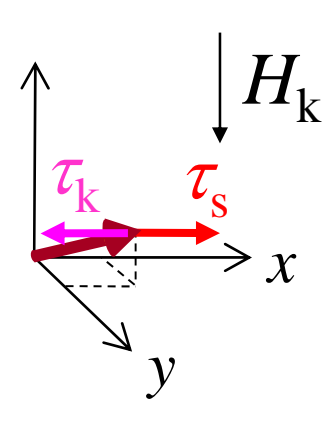
$$\frac{\partial \mathbf{m}}{\partial t} = -\gamma \mathbf{m} \times \mathbf{H}_{eff} + \alpha \mathbf{m} \times \frac{\partial \mathbf{m}}{\partial t} - \frac{j\mu_{B}P}{eM_{s\tau_{S}}} \frac{\partial \mathbf{m}}{\partial x}$$

$$\tau_K = -\gamma \mathbf{m} \times \mathbf{H}_K$$

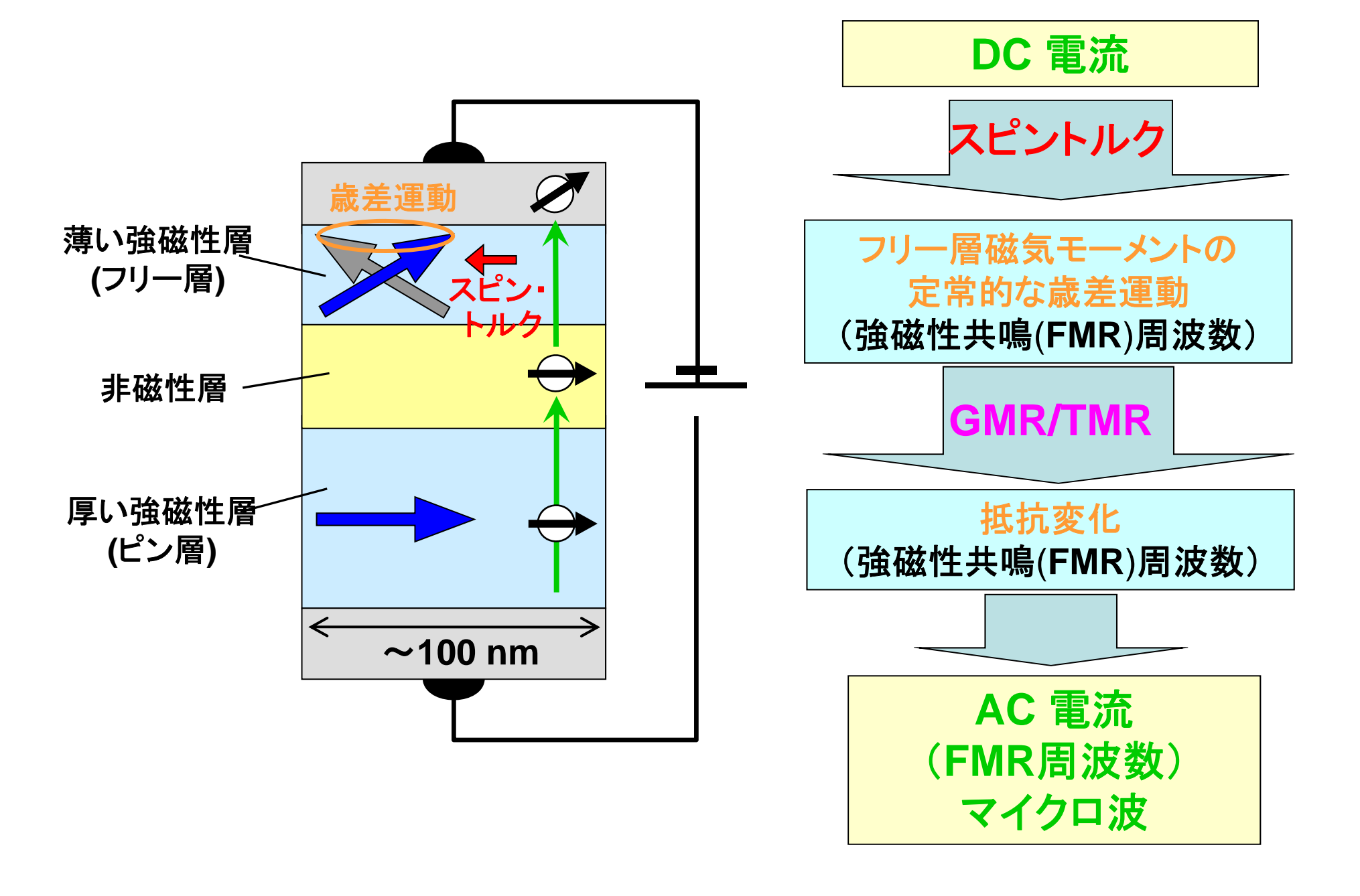
$$\tau_{s} = \frac{j\mu_{B}P}{eM_{s}} \frac{\partial \mathbf{m}}{\partial x} = \frac{j\mu_{B}P}{eM_{s}} \frac{\pi}{\delta}$$

$$\gamma H_K = \frac{j\mu_{\rm B}P}{eM_s} \frac{\pi}{\delta}$$

$$j = \frac{\gamma e \, \delta H_K M_s}{\pi \mu_B P} = \frac{2e \, \delta K}{\pi \hbar P}$$



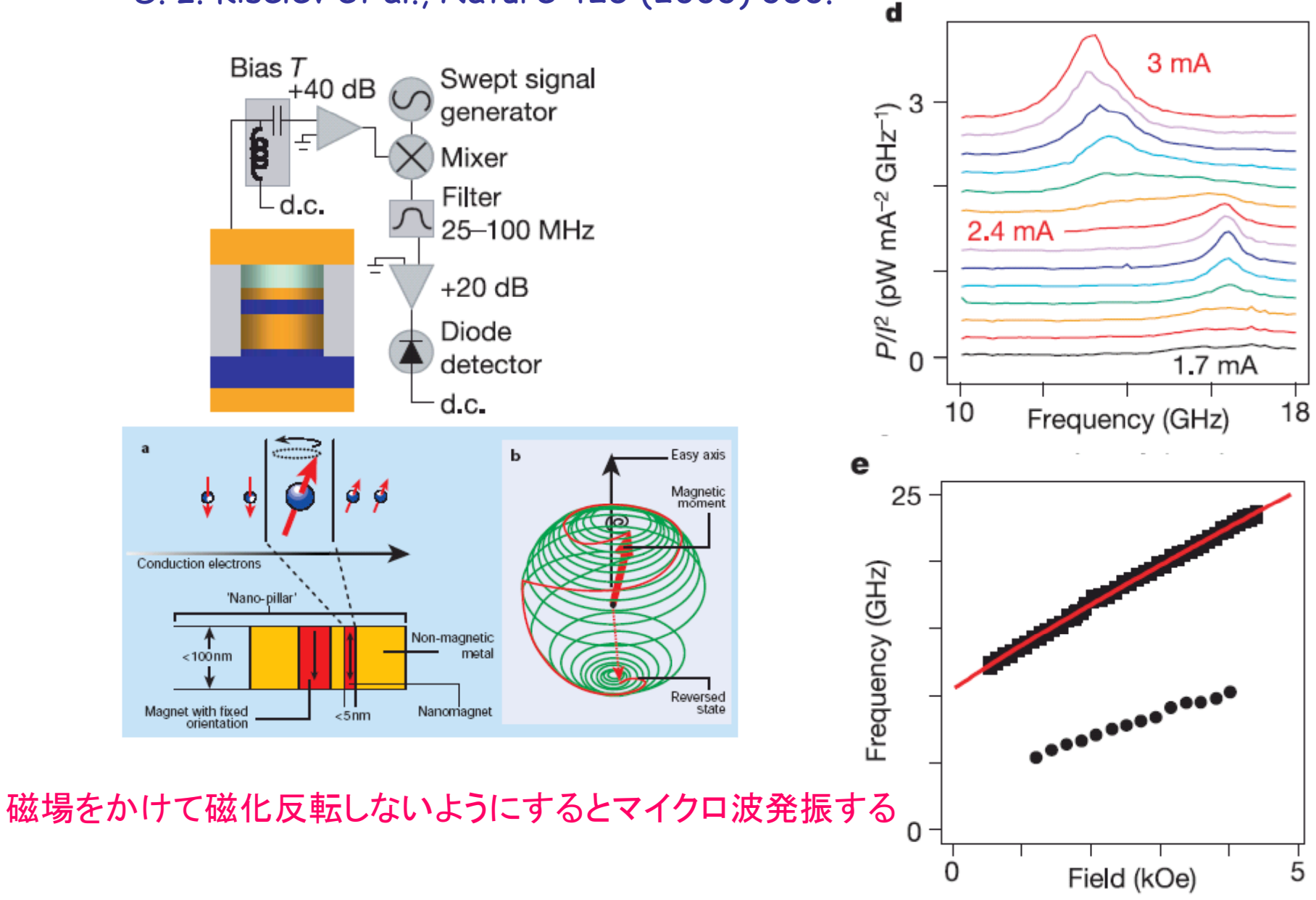
スピントランスファー効果 ・マイクロ波の発振と検波



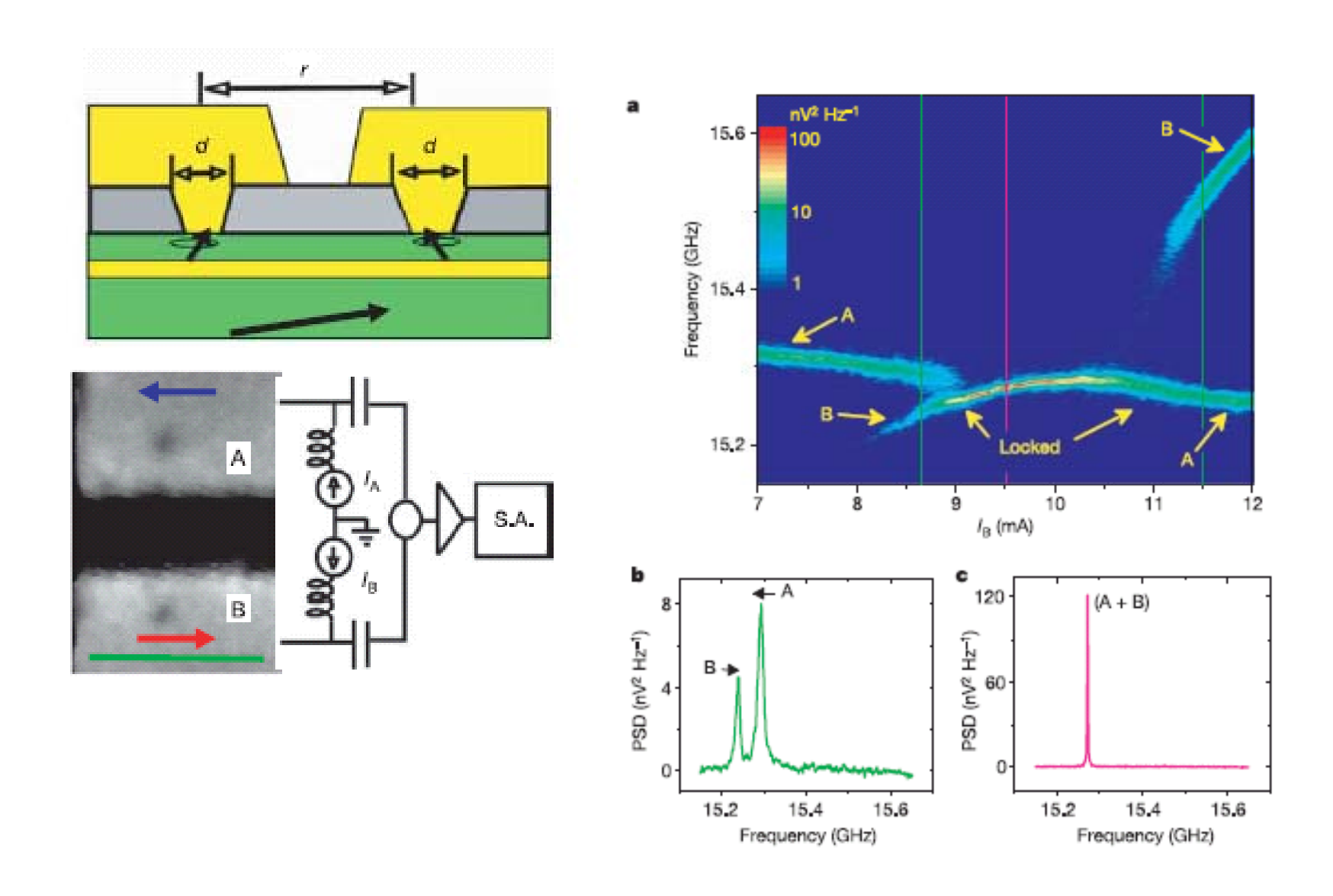
(Courtesy of Shinji Yuasa(AIST))

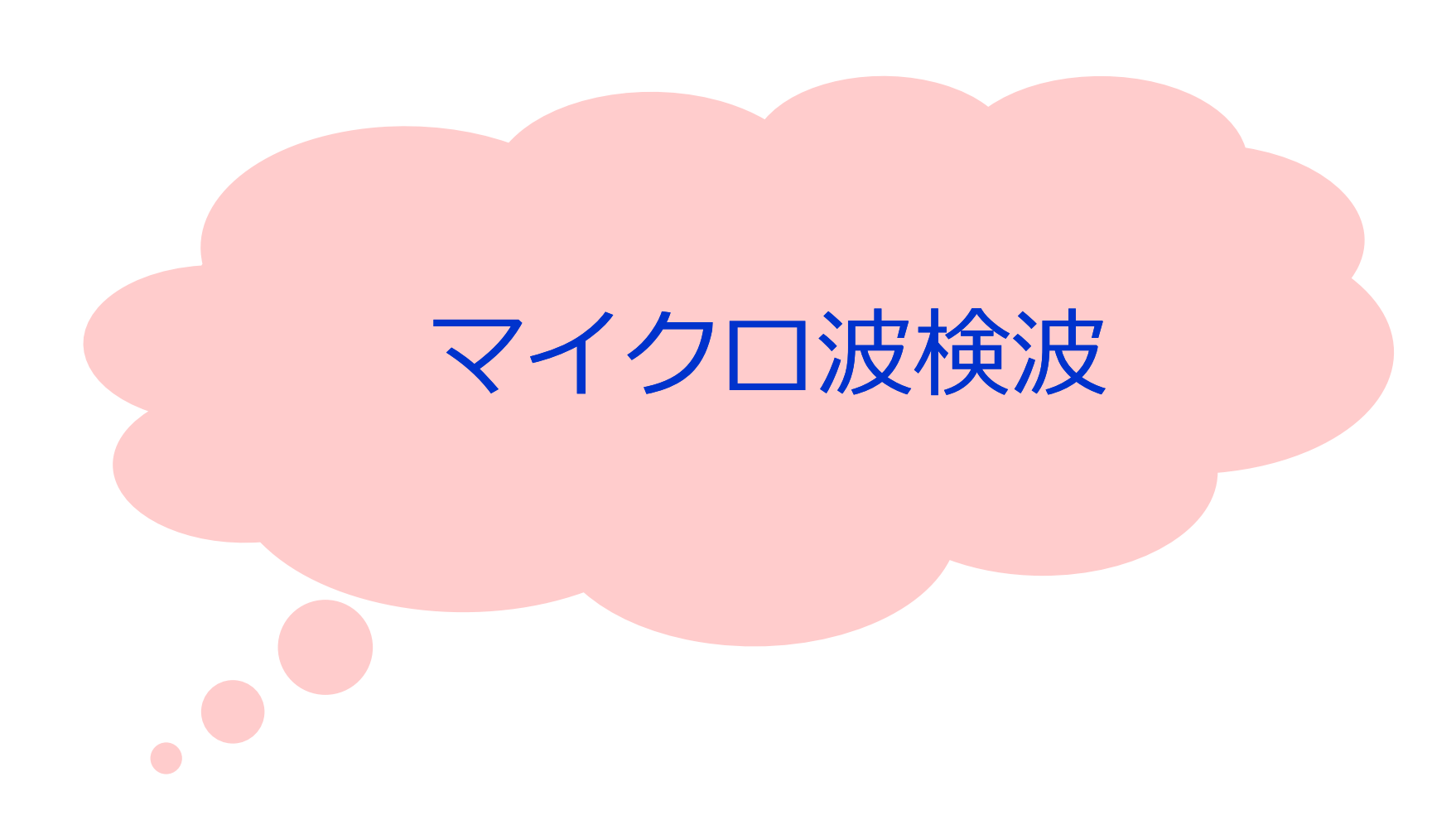
Microwave oscillations of a nanomagnet driven by a spin-polarized current

5. I. Kiselev et al., Nature 425 (2003) 380.



Mutual phase-locking of microwave spin torque nano-oscillators S. Kaka et al., Nature 437 (2005) 389.

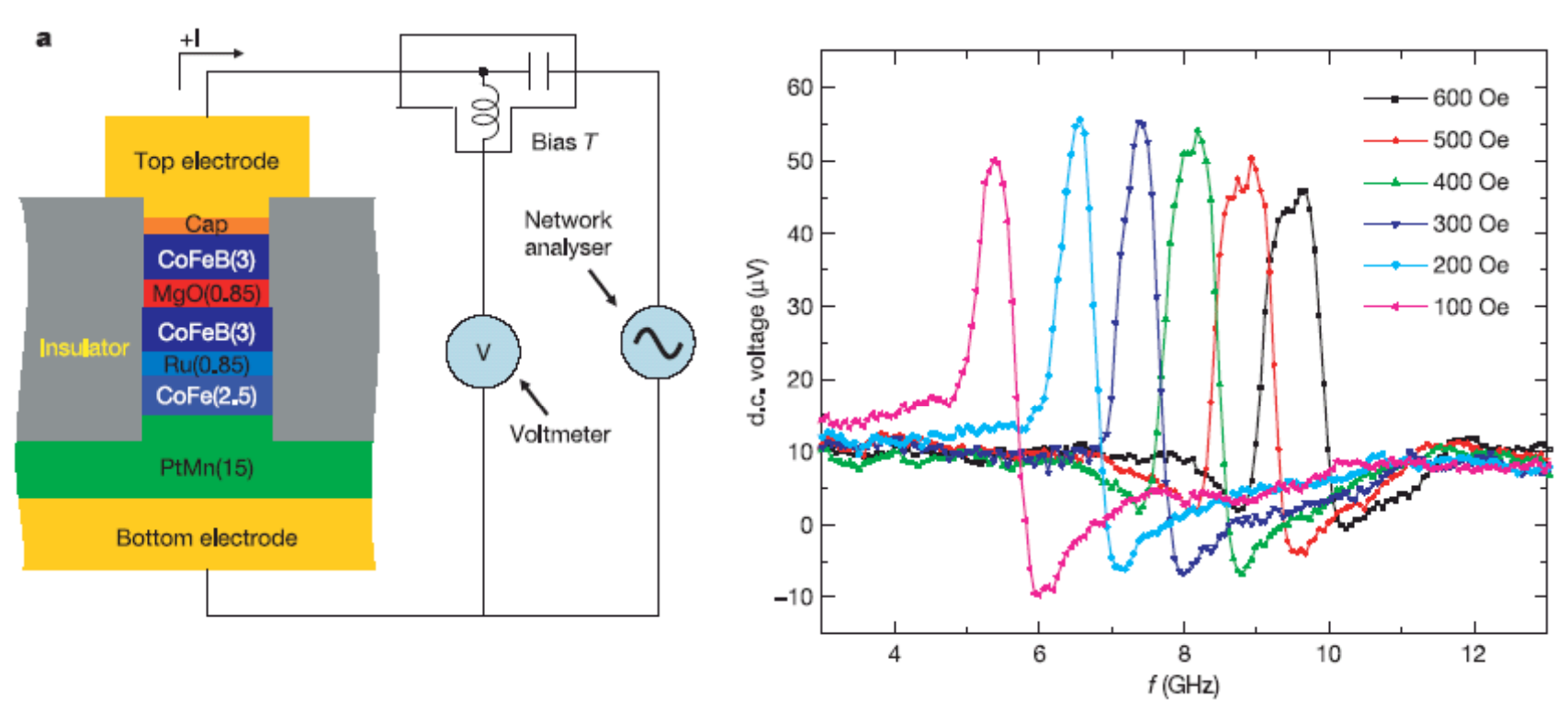




Spin-torque diode effect in magnetic tunnel junctions

A. A. Tulapurkar et al., Nature 438 (2005) 339.

DC -> AC マイクロ波発振 AC -> DC ?!



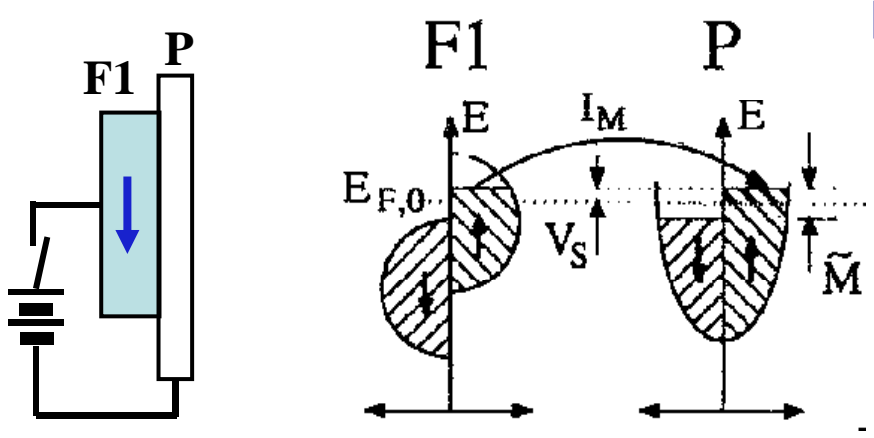
マイクロ波の検波ができる!

スピンを入れる/作る

- ・スピン注入
- ・スピンホール効果



スピン注入とは



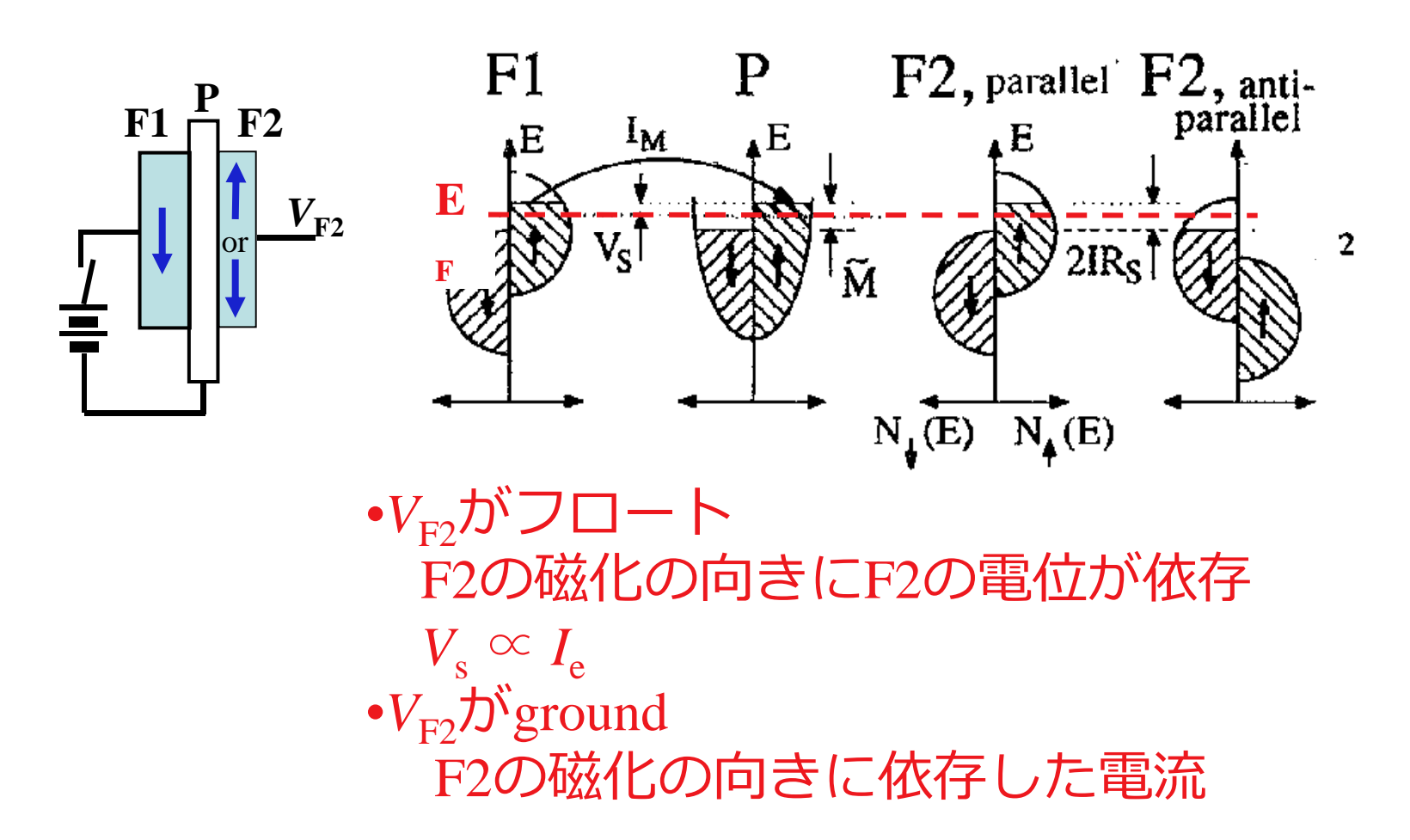
M. Johnson and R.H. Silsbee, Phys. Rev. Lett. 55 (1985) 1790.

スピン偏極電流によって非磁性体に非平衡磁化が生じる

$$I_M = \mu_B I_e / e$$
 磁気モーメントの流れ $M = I_M \tau / Ad = \mu_B I_e \tau / eAd$ 中中の非平衡磁化 $M / \mu_B = N(E_F) eV_s$

$$eV_s = \frac{M}{\mu_B N(E_F)} = \frac{\tau}{eAdN(E_F)} I_e = \mu_B \frac{M}{\chi}$$
 スピン注入による 化学ポテンシャル変化

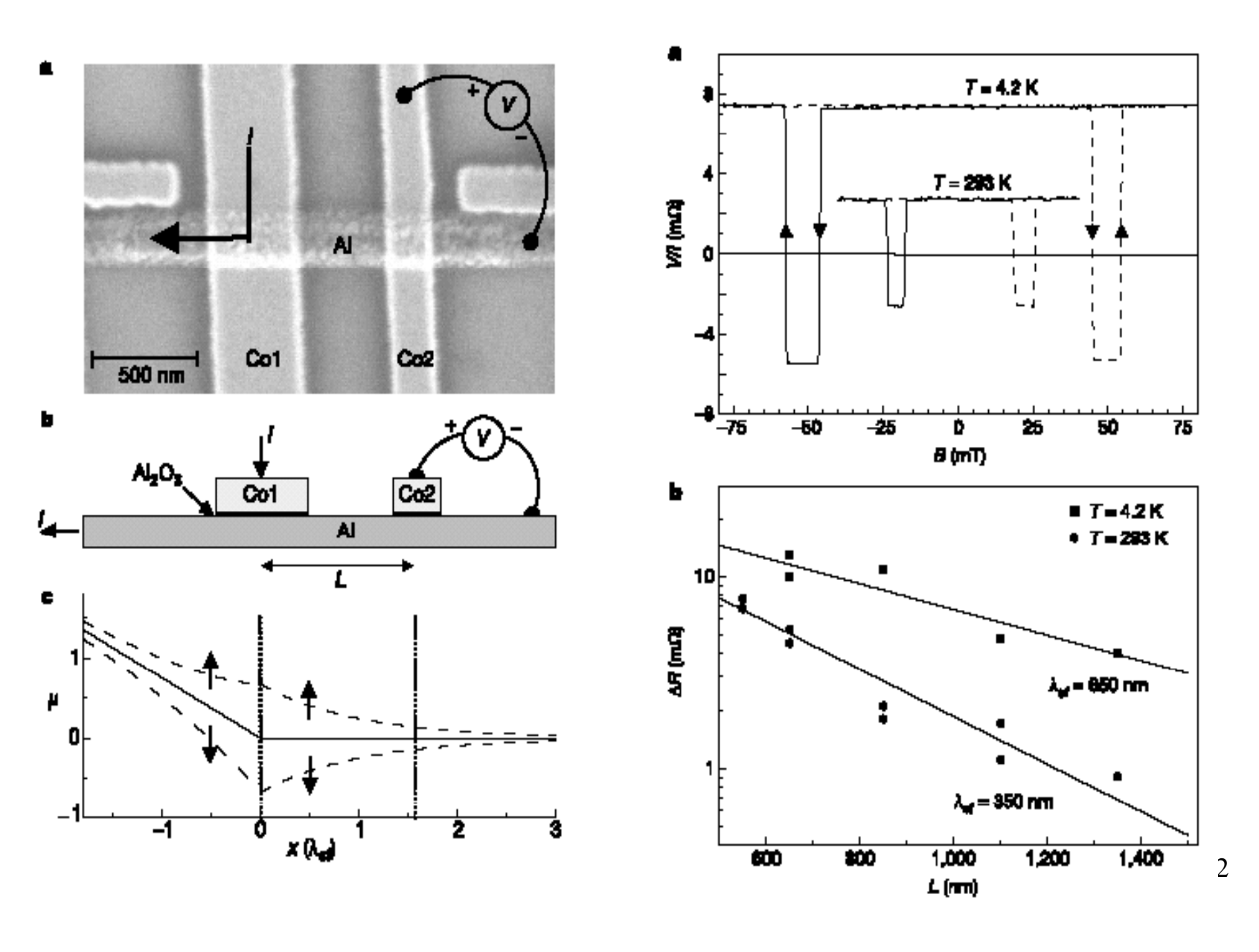
どうやって検出するか?



M. Johnson, Science 260 (1993) 320.

非局所測定によるスピン依存化学ポテンシャル測定

F.J. Jedema et al., Nature, 410 (2001) 345.

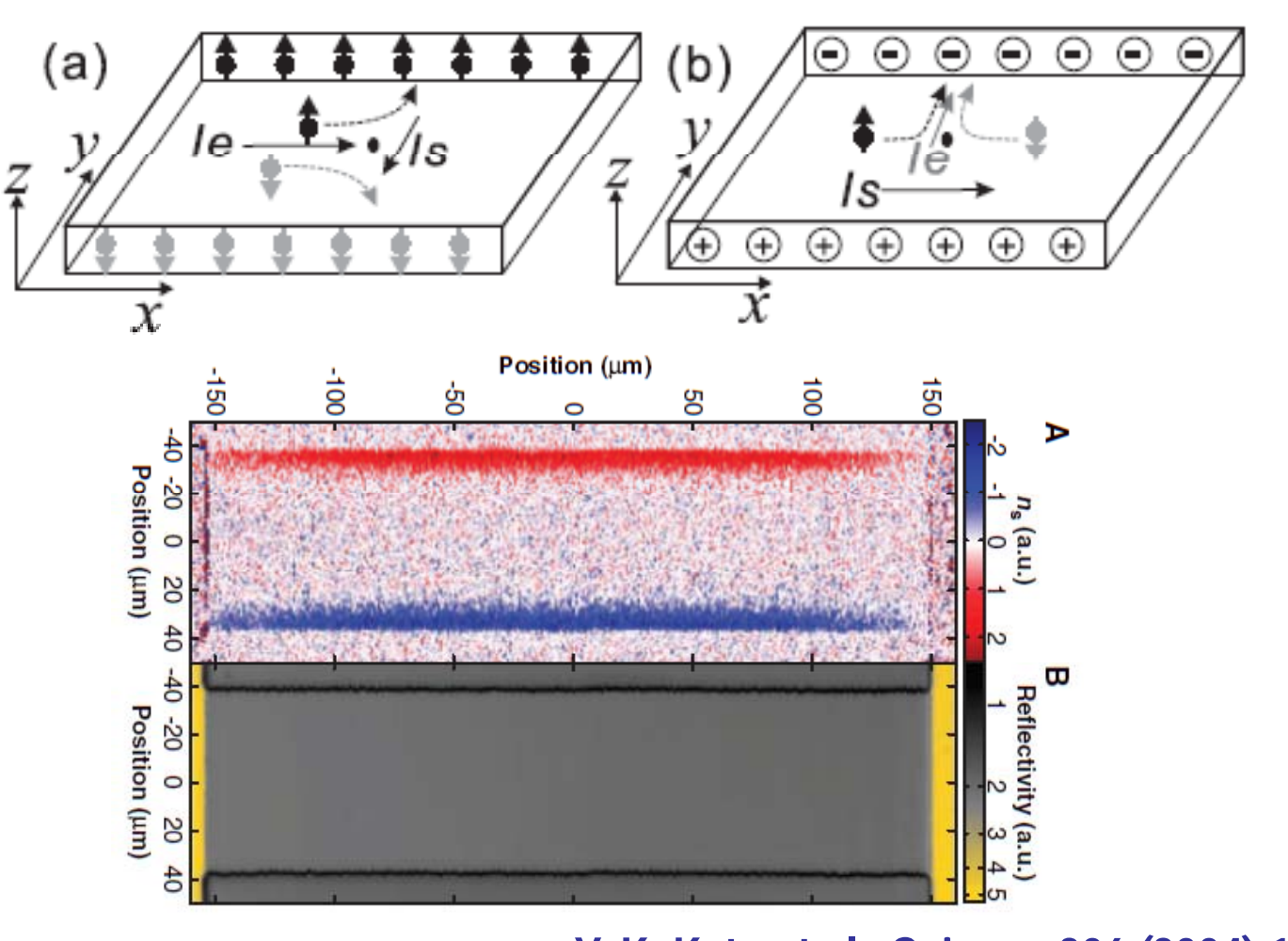


スピンを作る ・スピンホール効果 電流->スピン流変換

スピンホール効果

電流を流すだけでスピンの流れができ端にスピンがたまる スピン軌道相互作用によるスピン依存非対称散乱

理論予言 M. I. D'yakonov and V. I. Perel, JETP Lett. 13 (1971) 467.



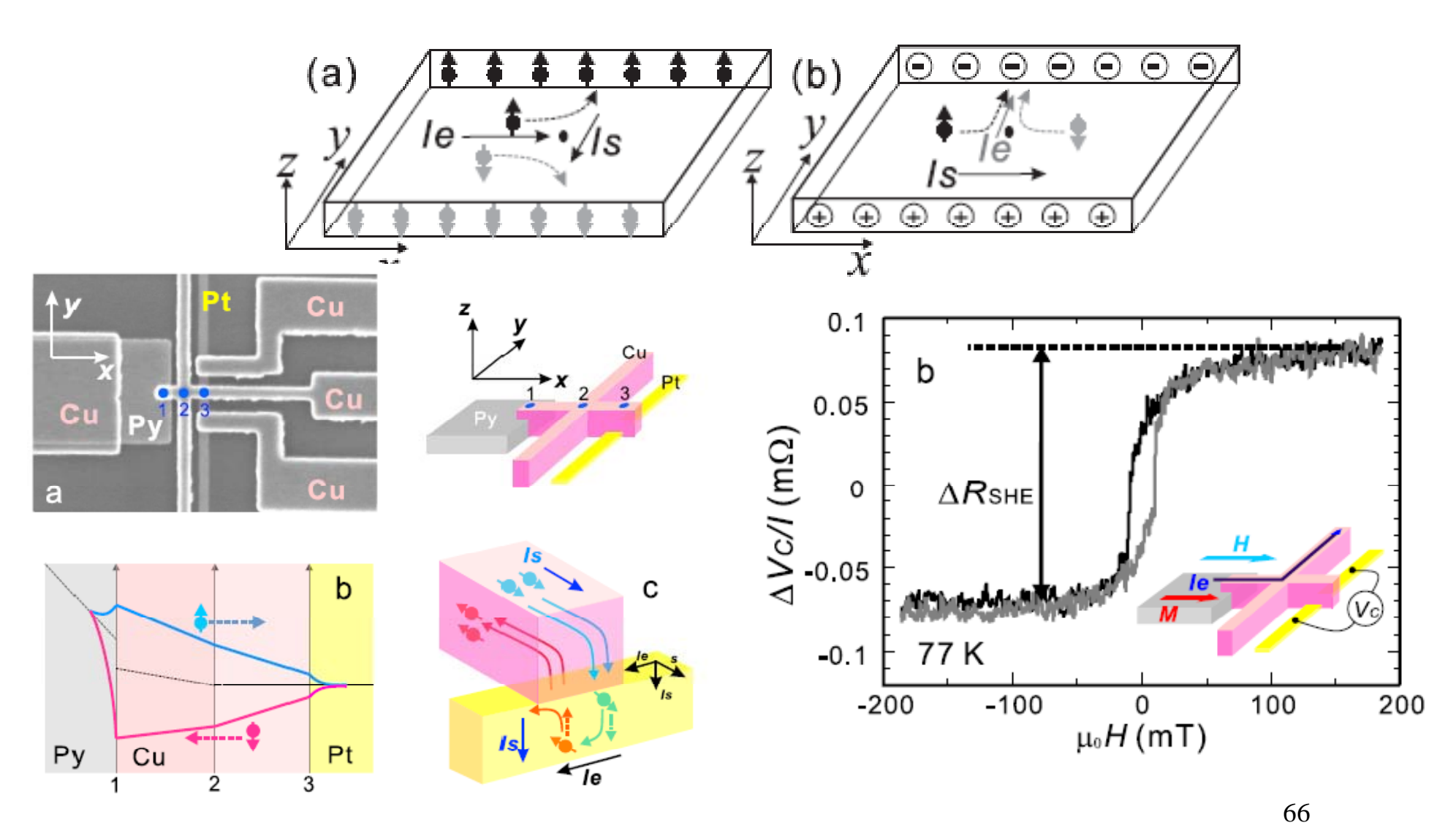
Y. K. Kato et al., Science 306 (2004) 1910_

64

スピンを計る ・逆スピンホール効果 スピン流->電流変換

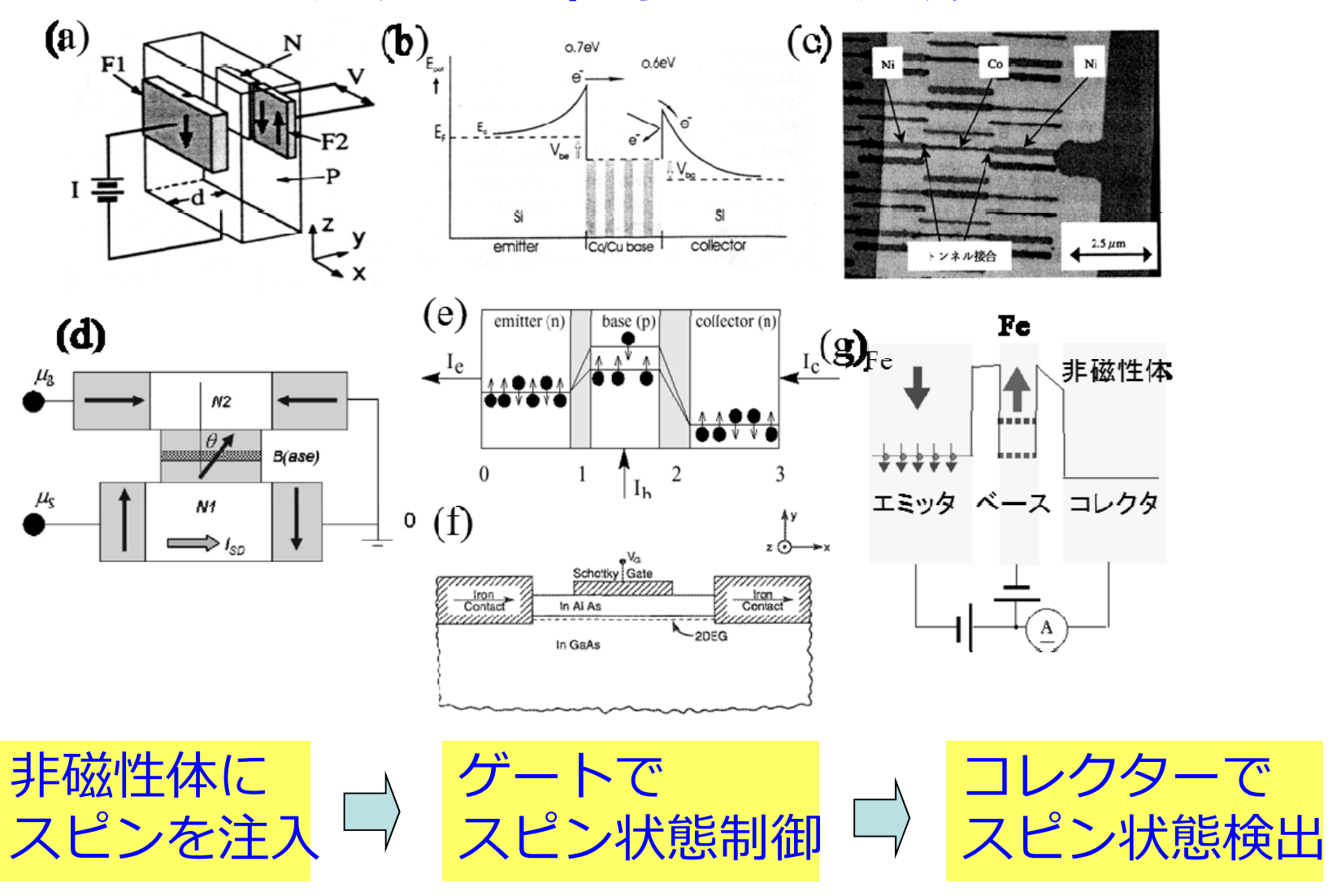
逆スピンホール効果

スピンの流れが電流になり端に電荷がたまる



T. Kimura et al., Phys. Rev. Lett. 98 (2007)156601.

スピントランジスタ



不揮発・書き換え可能

課題:論理回路を組むにはゲインが必要!

67

スピンエレクトロニクスの展開

スピン依存伝導

磁気構造 → 電気伝導

- •巨大磁気抵抗効果
- •トンネル磁気抵抗効果

スピントランスファー

スピン電流 →磁気構造

- •スピン注入磁化反転
 - •磁壁電流駆動
 - •マイクロ波発振
- •スピントルクダイオード

スピンホール効果

HDD

MRAM

高周波デバイス スピントランジスタ ポストHDD ??? ロニクス

???